



#### ๗.๑ สักษณะของ HPP positive cell

จากรายงานของ Kristenson และคณะ<sup>(๒๙)</sup>, Lavail และ Lavail<sup>(๓๔)</sup> Nauta และคณะ<sup>(๔๐)</sup> และ Walberg และคณะ<sup>(๔๑)</sup> ได้บรรยายถึงลักษณะของอนุพันธ์ของ HRP ที่ปรากฏอยู่ใน HRP positive cell รายงานเหล่านี้ได้กล่าวไว้ว่าถ้าใช้กล้องที่มีความละเอียดสูง เช่น electron microscope จะสามารถเห็นลักษณะของอนุพันธ์ของ HRP ที่ปรากฏอยู่ใน perikaryon และ dendrite ในสักษณะของเมล็ด (granules) และจะไม่ปรากฏใน nucleus เมล็ดเหล่านี้มีขนาดเท่า ๆ กัน มีลักษณะเป็นทรงกลม (round shape) แม้กระทั่ง (oval shape) ปิซิอยู่ในแกนน้ำตาลห่ออนามีนีน เช่น ซึ่งจะเห็นได้ชัดเจนภายใต้ light microscope โดยใช้กล้องขยายตั้งแต่  $10 \times 10$  ขึ้นไป และจะเห็นได้ชัดมากหากขยายตั้งแต่  $10 \times 40$  ในการวิจัยครั้งนี้ สักษณะของ HRP positive cell ที่พบก็เป็นเช่นเดียวกับรายงานที่กล่าวข้างต้น ทั้งแสดงไว้ในรูปที่ ๗ ซึ่งเป็นรูปถ่ายจาก section ผ่าน thalamus ของหนูขาวตัวที่ Rat-No-05 โดยใช้ light ground illumination section นี้ศึกษาตามแนว AP ๓ ในรูปได้ขยายให้เห็นชัดเจนและประสาทซึ่งอยู่ในบริเวณ nucleus mediodorsalis thalami จะสังเกตได้ชัดว่าเซลล์เหล่านี้มี HRP granules อยู่ภายใน

#### ๗.๒ การก่อหนดบริเวณ prefrontal cortex ในหนูขาว

โดยทั่ว ๆ ไปการก่อหนดบริเวณต่าง ๆ ของเปลือกสมอง (cerebral cortex) สามารถกระทำได้หลายวิธี คามและความสะดวกและประโยชน์ที่จะนำไปใช้ เช่นอาจก่อหนดโดยใช้ความกว้างใหม่ของริเวณนากรากของเปลือกสมอง ก่อหนดตามลักษณะของการเรียงตัวของเซลล์ และลักษณะความหนาของชั้นต่าง ๆ (cytoarchitecture) หรือในส่วนที่มีสูงอาจก่อหนดตามลักษณะทางกายภาพโดยใช้ลักษณะของรอยยุบ (gyrus หรือ convolution) และร่องต่าง ๆ



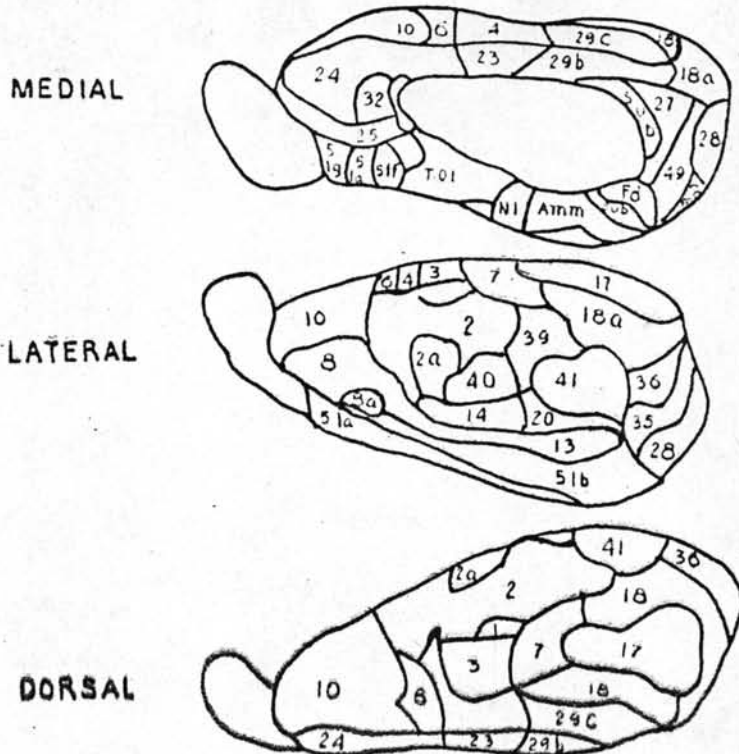
รูปที่ ๗ รูปถ่ายแสดงสักษณะของ HRP positive cell จากผลการทดลองครั้งนี้  
ซึ่งปรากฏอยู่ใน thalamus บริเวณ nucleus mediodorsalis  
ของหมูขาวตัวที่ Rat-No-05 ภายในเซลล์เหล่านี้จะสังเกตเห็น เมล็ด  
(granule) ซึ่งมีสัน้ำตาล เต็มชุดอยู่บนพื้นสีฟ้า เมล็ดสัน้ำตาลเหล่านี้  
คือ อนุพันธ์ที่เกิดจากปฏิกิริยาเคมีที่ใช้ในการย้อม HRP

(*sulcus* หรือ *fissure*) เป็นหลักในการแบ่งบริเวณต่าง ๆ ของเปลือกสมอง (๔๖)

ในพุทธฯ เนื่องจากเปลือกสมองไม่มีลักษณะของรอยบุนและร่องต่าง ๆ จึงทำให้การกำหนดบริเวณของเปลือกสมองตามลักษณะทางกายวิภาคกระทำได้ยาก แต่ยังไร์ก์ที่ได้มีผู้พยายามแบ่งบริเวณต่าง ๆ ของเปลือกสมองในพุทธฯ เช่น Rose (๔๓) ได้ทำการศึกษาและรายงานไว้ในปี ๑๘๕๐ โดยในรายงานนี้ ได้กำหนดบริเวณต่าง ๆ ของเปลือกสมองของพุทธฯ โดยถือตามลักษณะของการเรียงตัวของเซลล์และลักษณะของความหนาของชั้นต่าง ๆ (cytoarchitecture) ต่อมาในปี ๑๙๖๖ Krieg (๔๔) ได้กำหนดบริเวณของเปลือกสมองโดยถือตามลักษณะการติดต่อ (connection) ระหว่างเปลือกสมองบริเวณต่าง ๆ กับส่วนต่าง ๆ อื่น ๆ ของสมองเป็นหลัก ซึ่งทำให้สามารถแบ่งบริเวณต่าง ๆ ของเปลือกสมองได้ ดังแสดงไว้ในรูปที่ ๔.

สำหรับบริเวณ prefrontal cortex ในหมูขาวนั้น เป็นบริเวณที่กล่าวกันว่ามีการติดต่อกับ nucleus mediodorsalis ของ thalamus มา ซึ่งจากการศึกษาโดยละเอียดของ Leonard (๙๒) (๔๔) Domesick (๕๖) และ Kretter กับ Price (๔๗) ทำให้ได้ข้อสรุปว่าลักษณะการติดต่อกัน เช่นนี้อาจนิยามว่าเป็นข้อกำหนดในการรับ信号จากบริเวณ prefrontal cortex ได้ กล่าวคือ เป็นที่ยอมรับกันทั่วไปในบัดนี้ว่า prefrontal cortex ในหมูขาว คือ บริเวณที่มีริสติประสาทส่งผ่าน (projection) ขึ้นมาจาก nucleus mediodorsalis ของ thalamus

ในการวิจัยครั้งนี้ จากการที่ได้ฉีด ๗๐% HRP ที่บริเวณ frontal pole ของเปลือกสมอง พบร้าบีนคลงบางส่วนของบริเวณที่มี co-ordinates AP-1 ถึง AP-5, LO ถึง L5 และ D1 ถึง D4 เท่านั้น จึงจะพบ HRP positive cell ใน nucleus mediodorsalis thalami บริเวณทึ่งกล่าวมีขอบเขตเริ่มตั้งแต่ทางด้าน medial ซึ่งมีความกว้างภายใน ๙ ม.ม. จาก midline บริเวณนี้จะต่อเนื่องเป็นแกนแคบ ๆ ไปทางด้าน rostral จนถึงระดับรากที่ห่างจาก bregma ประมาณ ๗ ม.ม. จากนั้นจะเริ่นโถงไปตามแนวขอบเขตของ frontal cortex ไปสิ้นสุดทางด้าน temporal ณ ระดับรากที่ห่างจากจุด bregma ประมาณ ๗ ม.ม. โดยสรุปแล้ว



รูปที่ ๔ แผนภูมิแสดงข้อการแบ่งบริเวณต่าง ๆ ของเปลือกตาของเหตุ Krieg (๔๔)

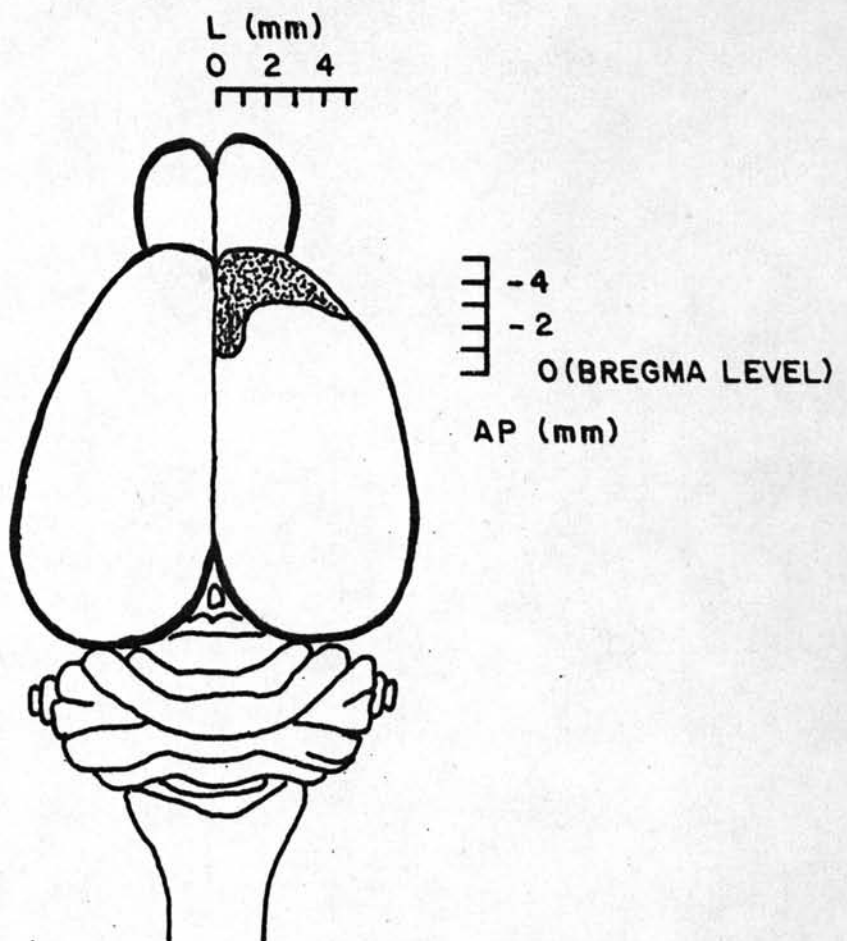
บริเวณที่อาจเรียกได้ว่า prefrontal cortex นี้ แสดงให้สังรูปในรูปที่ ๔ รายละเอียดค้าง ๆ ของผลการทดลองแสดงไว้ในตารางที่ ๒ และรูปที่ ๑๓ ถึงรูปที่ ๒๘

นอกจากนี้ เป็นที่น่าสังเกตว่า ในบริเวณที่ฉีด HRP แล้วพบ HRP positive cell ที่ nucleus mediodorsalis thalami (ซึ่งเรียกว่า prefrontal cortex) นั้นมักจะพบ HRP positive cell ที่ nucleus anteromedialis thalami ด้วย แต่ในการศึกษาครั้งนี้ ไม่ได้ถูกในรายละเอียดเกี่ยวกับความสัมพันธ์ของบริเวณ nucleus ทั้งสองที่จะมีต่อกัน ณ ระดับเปลือกสมอง

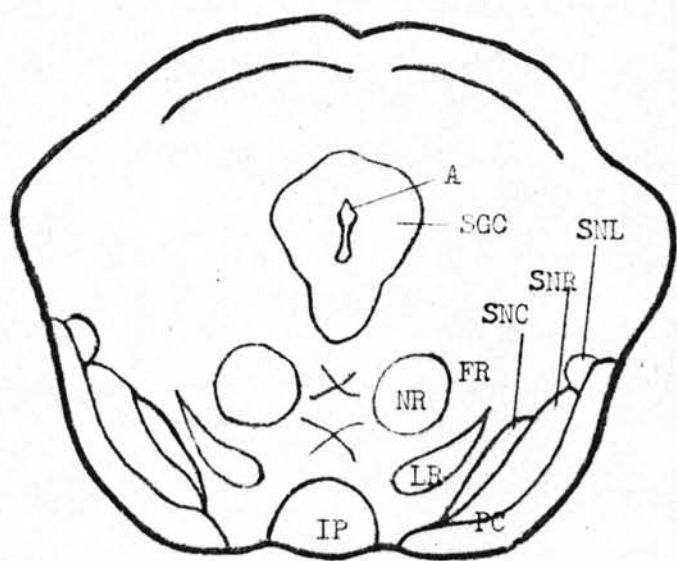
#### ๓.๓ HRP positive cell ที่บริเวณ mid brain ส่วน tegmentum

ในการทดลองครั้งนี้ บริเวณที่ปรากฏ HRP positive cell มีอยู่ ๒ กลุ่มด้วยกัน กลุ่มนึงอยู่ในบริเวณของ substantia nigra (SN) ส่วน zona compacta และอีกกลุ่มนึงอยู่ในบริเวณ ventro tegmentum area (AVT)

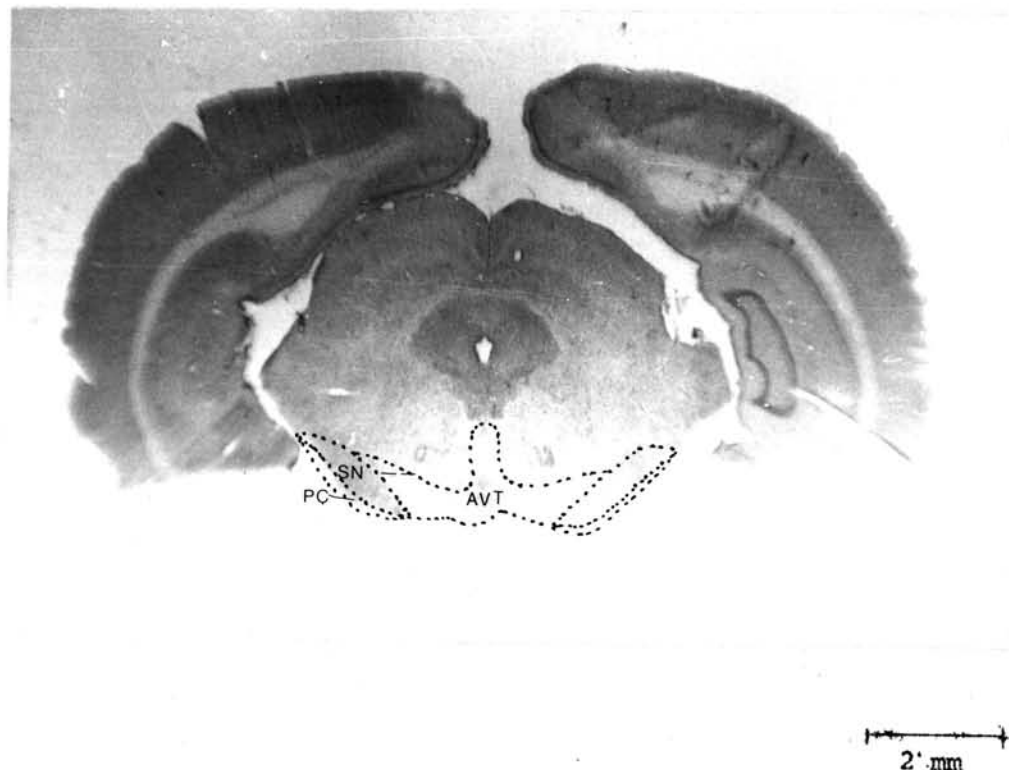
โครงสร้างที่เรียกว่า substantia nigra อยู่ด้านบนของ pedunculus cerebri บริเวณนี้อาจแบ่งออกเป็นบริเวณย่อย ๆ อีกได้ ๓ ส่วน (<sup>๔๖</sup>) ด้วยกัน คือ zona compacta ซึ่งมีเซลล์เรียงตัวกันเป็นแนวยาว ประกอบขึ้นไปขอบเขตทางด้าน dorsomedial ของโครงสร้างของ substantia nigra เซลล์เหล่านี้มีขนาดใหญ่ ( $۲۵-۳۵ \mu\text{m}$ ) ส่วนส่วนมากทางด้านล่างของ zona compacta เป็นบริเวณของ zona reticulata ในชั้นนี้เซลล์จะอยู่กันอย่างกระจายแพร่เป็นบริเวณกว้างกว่า zona compacta เซลล์ที่พบมีขนาดเล็ก และนอกจากเซลล์แล้วยังมีพบมีใยประสาท (fibre) อยู่เป็นจำนวนมาก ส่วนเซลล์อีกกลุ่มนึง เป็นเซลล์กลุ่มเล็ก ๆ อยู่ชั้น ๆ ด้าน dorsolateral ของส่วนกลุ่มที่ได้กล่าวมาแล้ว ซึ่งเรียกว่าบริเวณ zona lateralis substantia nigra มี co-ordinates AP 3.5 ถึง AP 5.5, L1 ถึง L3 และ D8 ถึง D10 ตามแผนที่ของ Fikfak และ Marsala (<sup>๔๗</sup>) และมีลักษณะดังแสดงไว้ในแผนภูมิรูปที่ ๑๐ และในรูปที่ ๑๑ กลุ่มเซลล์ในบริเวณ zona compacta ก้านนำมาระบบเทียบกับกลุ่มトイปรมีน เซลล์ตาม Dahlstrom และ Fuxe (<sup>๔๘</sup>) น่าจะเป็นกลุ่ม A9



รูปที่ ๔ แผนภูมิแสดงบริเวณของเปลือกสมองที่มี projection มาจาก nucleus mediiodorsalis thalami ซึ่งอาจเรียกว่า prefrontal cortex จากผลการทดลองครั้งนี้



รูปที่ ๙๐ แผนภูมิแสดงโครงสร้างและบริเวณ substantia nigra



SN = substantia nigra

AVT = ventro tegmentum area

PC = pedunculus cerebri

รูปที่ ๑๙ รูปถ่ายแสดง coronal section ซึ่งตัดจากสมองของหมูขาว ระดับ AP 5

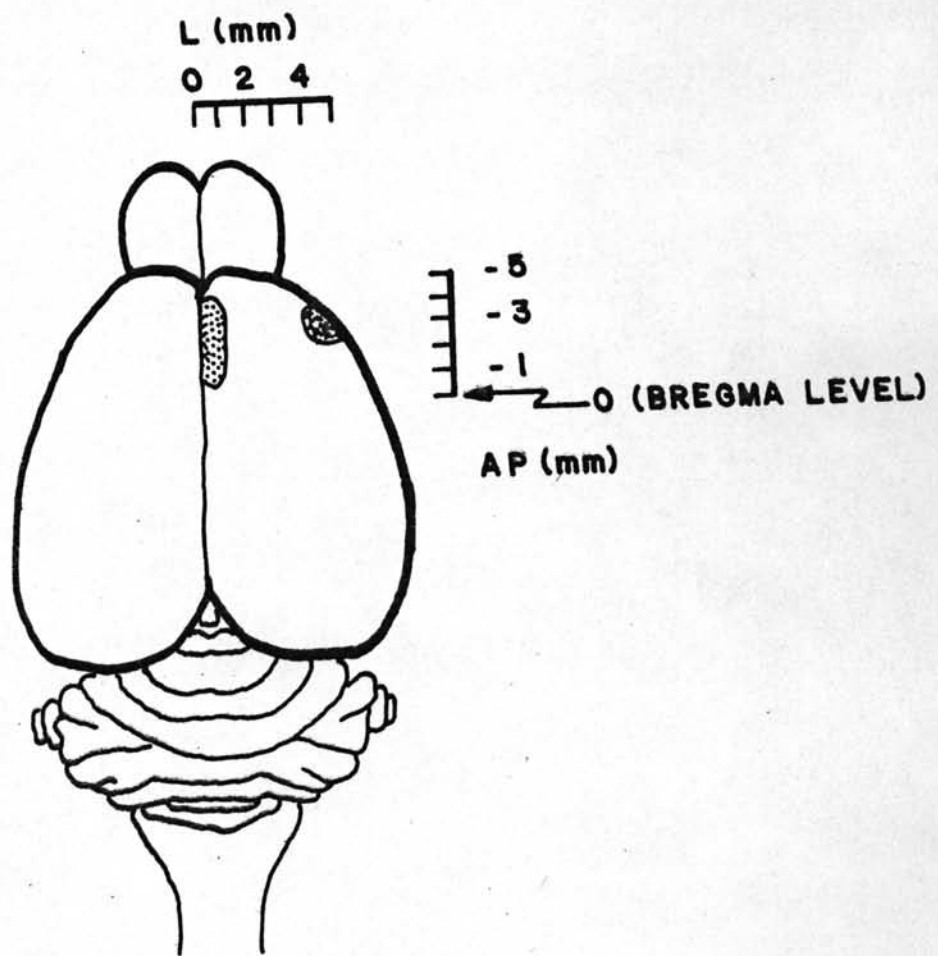
แสดงบริเวณของ substantia nigra และ ventro tegmentum area

ส่วนบริเวณ ventro tecmentum area เป็นบริเวณที่มีขอบเขตกระจาดกว้าง ตั้งแต่ ส่วนบนของ nucleus interpeduncularis ถึงส่วนซ้ายของ substantia nigra ส่วนขอบเขตด้านบนจะกระจาดไปถึงส่วนล่างของ nucleus ruber และแทรกอยู่ในบางส่วนของ decussatio tecmenti ventralis ซึ่งจะประกอบด้วย nucleus linearis, pars intermedialis, nucleus n. oculomotorii และ nucleus Edinger-Westphol ventro tecmentum area ที่ co-ordinates ตาม Fifkova และ Marsala<sup>(๒๔)</sup> อยู่ในบริเวณ AP 3.5 ถึง AP 5.5, LO ถึง L2 และ D8 ถึง D10 กลุ่มเซลล์ของ ventro tecmentum area เมื่อเปรียบเทียบกับกลุ่มโถประยุกต์ตาม Dahlstrom และ Fuxe<sup>(๔)</sup> น่าจะเป็นกลุ่ม A10 บริเวณของ ventro tecmentum area นี้ได้แสดงไว้ในแผนภูมิที่ ๑๐ และในรูปที่ ๑๑

จากการฉีด HRP ที่บริเวณของ frontal pole ของเปลือกสมองในการวิจัยครั้งนี้ ได้พบว่ามีอยู่สองบริเวณด้วยกันที่ภายหลังการฉีด HRP จะทำให้พบ HRP positive cell ใน mid brain tecmentum กล่าวคือ เมื่อฉีด HRP ลงในบริเวณ prefrontal (รูปที่ ๗.๒) ภายในระยะ ๑ ม.ม. จาก midline ต่อเนื่องเป็นแบบแคบ ๆ ตั้งแต่ ๑ ม.ม. หน้า bregma ไปทาง rostral จนถึงระนาบ ๔ ม.ม. (LO ถึง L1, AP-1 ถึง AP-4) และในระดับสักถึง ประมาณ ๒.๔ ม.ม. เท่านั้น จึงจะพบ HRP positive cell ในบริเวณ mid brain tecmentum ๒ กลุ่มตั้งกล่าว โดยกลุ่มที่พบริเวณ substantia nigra จะพบในบริเวณ ๑ ใน ๗ ทางด้าน ventral ของ zona compacta และอีกกลุ่มหนึ่งกระจาดอยู่ทั่วไปใน ventro tecmentum area จากการศึกษาโดยละเอียดพบว่า ถ้าฉีด HRP ลงในบริเวณเริ่มต้นแต่ด้านบนของ genu ของ corpus callosum ต่อเนื่องมาทางด้าน posterior จนถึงระนาบ ๑ ม.ม. ด้านหน้าของ bregma (LO ถึง L1, AP-1 ถึง AP-3 ในระดับความลึกตามที่ได้กล่าวมารแล้วนั้น จะพบ HRP positive cell ที่ substantia nigra (A9) เป็นจำนวนมาก และพบที่ ventro tecmentum area บ้างเป็นส่วนน้อย ในขณะที่การฉีด HRP ลงในบริเวณเริ่มต้นแต่ด้านบนของ genu ของ corpus callosum แล้วต่อเนื่องมาทางด้าน rostral จนถึงระนาบ ๔ ม.ม. ด้านหน้าของ bregma (LO ถึง L1, AP-3 ถึง AP-4) ในระดับความลึกเดียวกัน จะพบ HRP positive cell

กระจายอยู่ใน ventro tegmentum area มากกว่าใน substantia nigra

อีกบริเวณหนึ่งของเปลือกสมองที่ภายหลังฉีด HRP แล้วพบ HRP positive cell ใน mid brain tegmentum เป็นบริเวณที่อยู่ด้านบนของ rhinal sulcus ทางด้าน anterior ประมาณ ๒ ม.ม. ถึง ๓ ม.ม. หน้า bregma (L5, AP-2 ถึง AP-3, D7) ซึ่งเมื่อฉีด HRP ในบริเวณนี้ จะพบ HRP positive cell เอพาร์ใน ventro tegmentum area เท่านั้น บริเวณของเปลือกสมองที่มี projection มาจากกลุ่มเซลล์ใน substantia nigra และ/หรือ ventro tegmentum area ได้แสดงไว้ในรูปที่ ๑๖ รายละเอียดของผลการทดลองแสดงไว้ในตารางที่ ๒ และรูปที่ ๒๓ ถึงรูปที่ ๒๐



รูปที่ ๑๒ แผนภูมิแสดงบริเวณของเปลือกสมองที่มี projection มาจากกลุ่มเซลล์ใน substantia nigra และ/หรือ ventro tegmentum area จากผลการทดลองครั้งนี้

## ตารางที่ ๒

สรุปเกี่ยวกับตำแหน่งที่ฉีด HRP ใน frontal cortex กับบริเวณที่ปราศจาก HRP positive cell  
ใน thalamus และ mid brain tegmentum ตารางนี้ สรุปจากการทดลองในหมูชรา ๒๗ ตัว  
รายละเอียดให้ดูในเนื้อความ

สัดว์ทดลอง	ตำแหน่งที่ฉีด HRP *			บริเวณที่ปราศจาก HRP positive cell				
	Rat - No.	L	AP	D	ที่ thalamic nuclei		ที่ mid brain tegmentum	
					AM	MD	SN	AVT
01			CONTROL		0	0	0	0
21	L1	AP-0	D2.5		0	0	0	0
24	L1	AP-1	D2.5		3	4	3	1
18	L1	AP-1	D2.5		3	4	3	0
23	L1	AP-2	D2.5		3	4	3	1
12	L1	AP-2	D1		0	4	0	0
23	L1	AP-3	D2.5		3	5	3	3
05	L1	AP-3	D2.5		5	6	4	4
24	L1	AP-4	D2.5		3	4	2	3
06	L1	AP-4	D2		3	4	0	0
02	L1	AP-5	D2.5		0	3	0	0
13	L2	AP-0	D2.5		0	0	0	0
17	L2	AP-1	D2.5		0	0	0	0
20	L2	AP-2	D2.5		0	0	0	0
19	L2	AP-3	D2.5		1	2	0	0

## ตารางที่ ๒ (ต่อ)

สัตว์ทดลอง	ตำแหน่งที่ฉีด HRP *			บริเวณที่ปราบ HRP positive cell			
	Rat - No	L	AP	D	ที่ thalamic nuclei	ที่ mid brain tegmentum	SN
03	L2	AP-4	D2.5	2	4	0	0
04	L2	AP-5	D2.5	4	5	0	0
16	L3	AP' 0	D3	0	0	0	0
14	L3	AP-1	D3	0	0	0	0
11	L3	AP-2	D3	0	0	0	0
08	L3	AP-3	D3	0	5	0	0
10	L3	AP-4	D3	0	1	0	0
09	L3	AP-5	D3	0	0	0	0
19	L4	AP' 0	D3	0	0	0	0
20	L4	AP-1	D3	0	0	0	0
15	L4	AP-2	D3	0	0	0	0
18	L4	AP-3	D3	0	0	0	0
07	L4	AP-4	D3	0	4	0	0
13	L5	AP 0	D4	0	0	0	0
22	L5	AP-1	D4	0	0	0	0
21	L5	AP-2	D4	0	0	0	0
22	L5	AP-3	D4	0	3	0	0
25	L5	AP 0	D7	0	0	0	0
26	L5	AP-1	D7	0	0	0	0

## ตารางที่ ๒ (ต่อ)

สัตว์ทดลอง	ตัวแทนที่มีสีต์ HRP *			บริเวณที่ปราบกู้ HRP positive cell			
				ที่ thalamic nuclei	ที่ mid brain tecmentum	SN	AVT
Rat - No	L	AP	D	AM	MD		
27	L5	AP-2	D7	0	0	0	4
27	L5	AP-3	D7	0	0	0	4
26	L4	AP-4	D6	0	0	0	0
25	L3	AP-5	D4	0	0	0	0

AM = nucleus antero-medialis thalami

MD = nucleus medio-dorsalis thalami

SN = substantia nigra

AVT = ventro-tecmentum area

0 = ไม่มี HRP positive cell

1 = HRP positive cell จำนวน ๑ - ๕ เซลล์

2 = HRP positive cell จำนวน ๖ - ๑๐ เซลล์

3 = HRP positive cell จำนวน ๑๑ - ๕๐ เซลล์

4 = HRP positive cell จำนวน ๕๑ - ๑๐๐ เซลล์

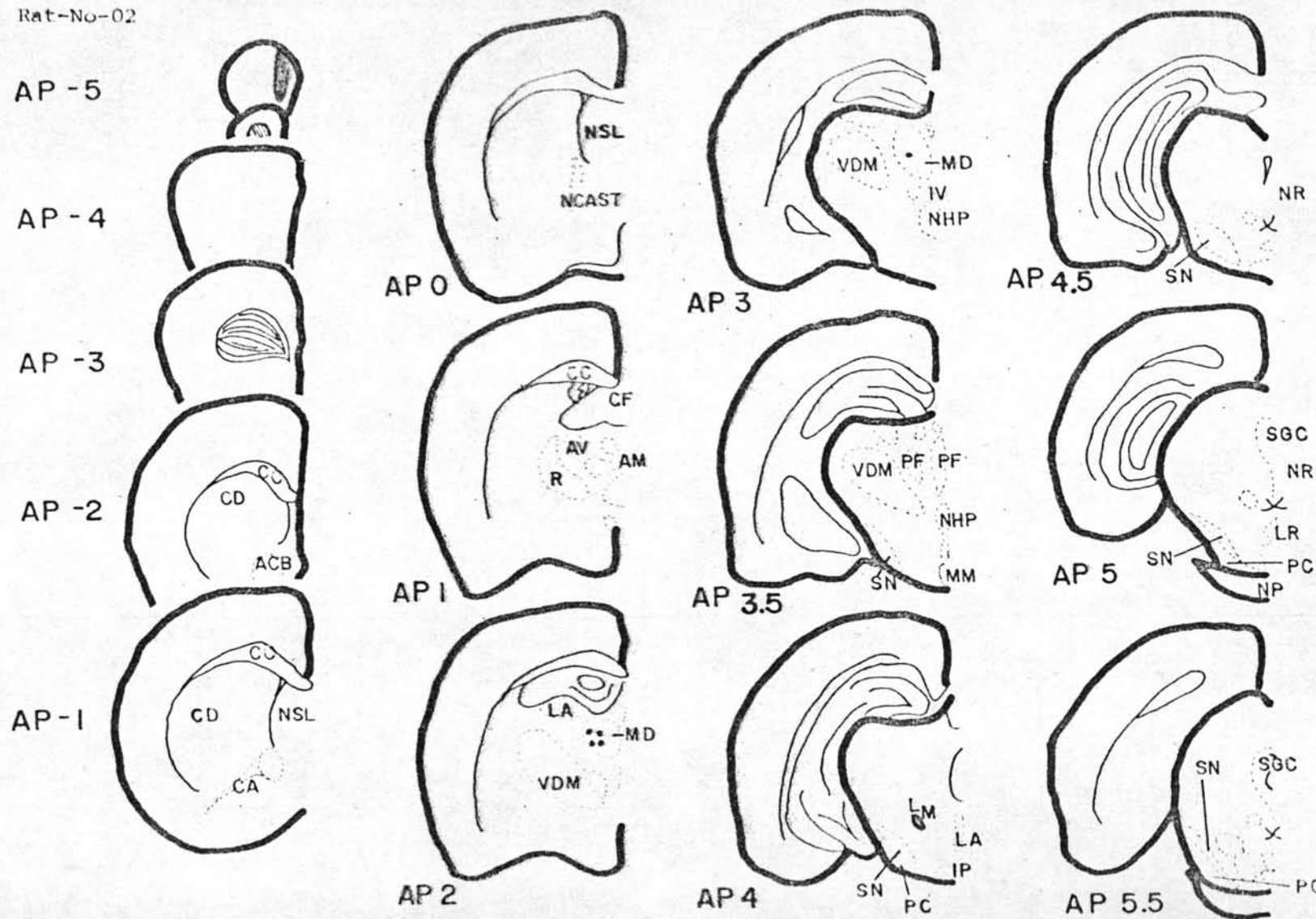
5 = HRP positive cell จำนวน ๑๐๑ - ๔๐๐ เซลล์

6 = HRP positive cell จำนวนตั้งแต่ ๔๐๑ เซลล์ ขึ้นไป

\* และคำย่ออื่น ๆ ใช้ตามตารางที่ ๑

รูปที่ ๑๗-๒๘ แผนภูมิแสดงบริเวณที่สีด HRP ในเปลือกสมอง และพบ HRP  
positive cell ปรากฎในบริเวณ mediodorsalis  
thalami ของหมูขาวแต่ละตัว

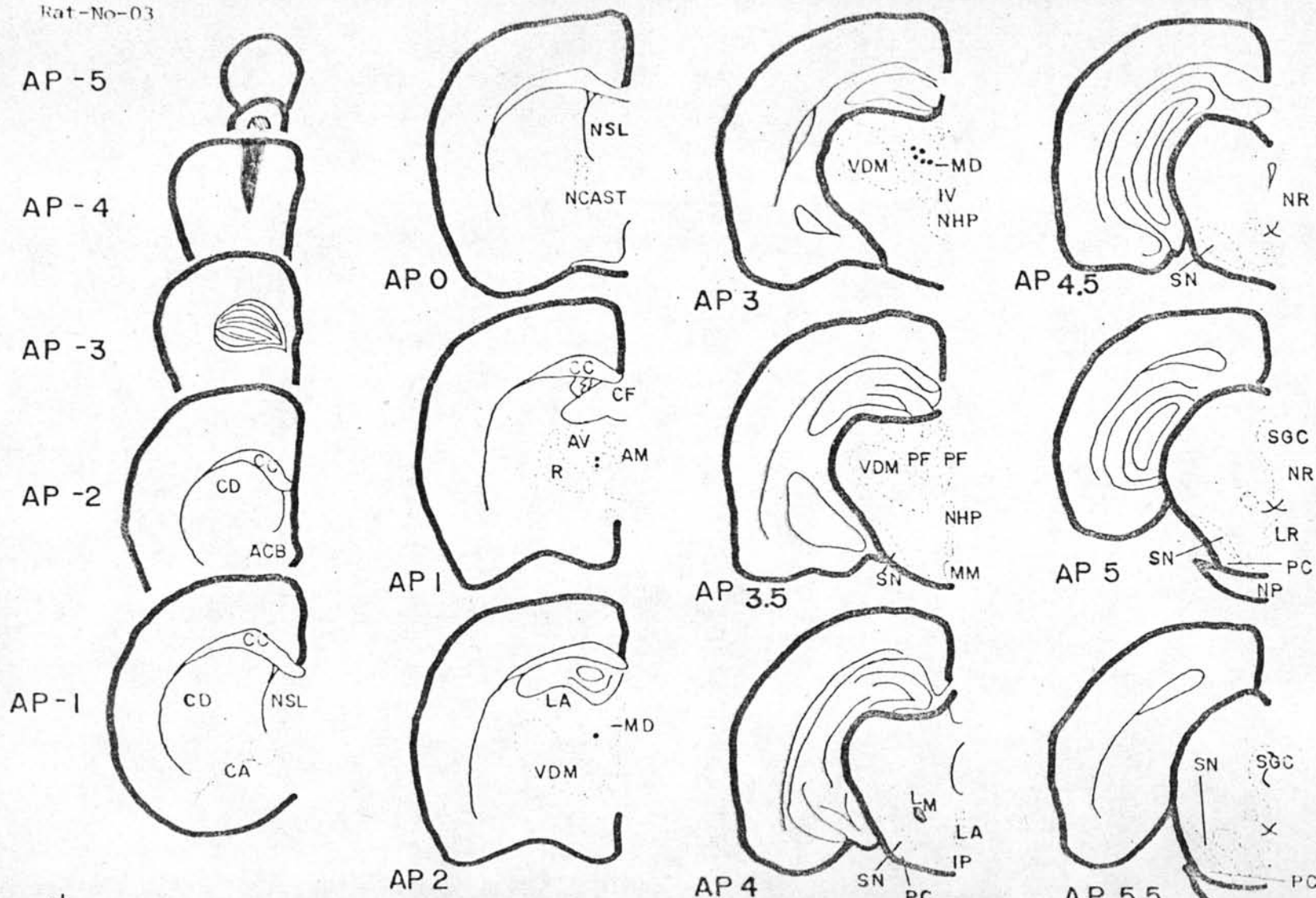
Rat-No-02



รูปที่ ๔๓ แสดงผลของการสืบ HRP บริเวณ AP-5, T1 และ D2.5 ที่มีการให้สี HRP positive cell ใน nucleus mediodorsalis

thalami ในระดับ AP 2 และ AP 3

Rat-No-03



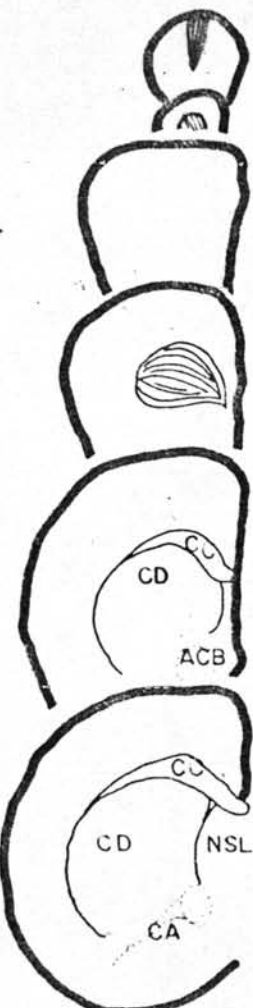
รูปที่ ๔ แสดงผลของการฉีด HRP บริเวณ AP-4, L2 และ D2.5 ที่จะนำไปพิสูจน์

HRP positive cell ใน nucleus anteromedialis

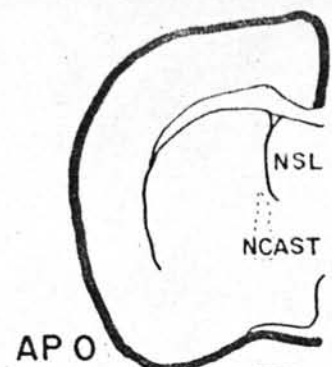
thalami ระยะ AP 1 นั้น nucleus mediodorsalis thalami ระยะ AP 2 นั้น AP 3

Rat-No-04

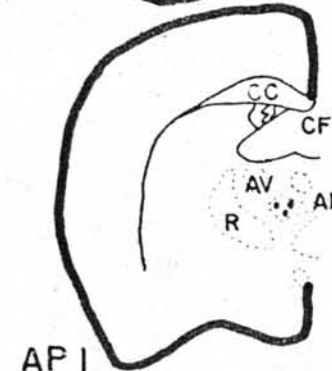
AP -5



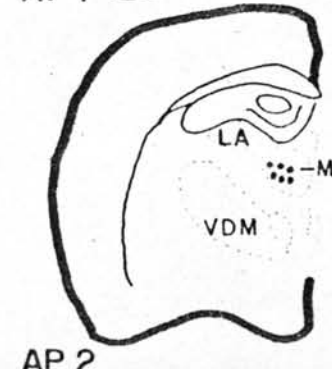
AP -4



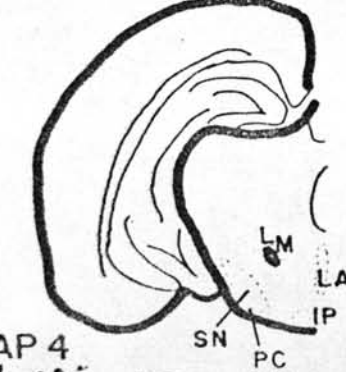
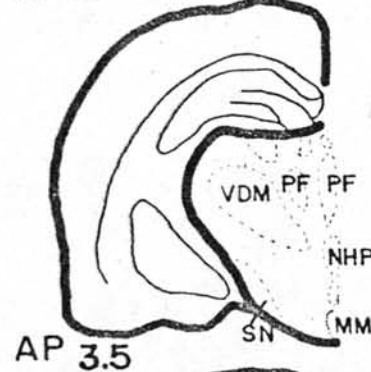
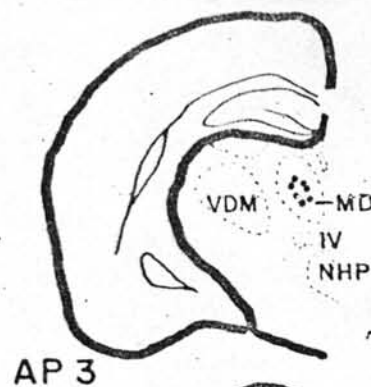
AP -3



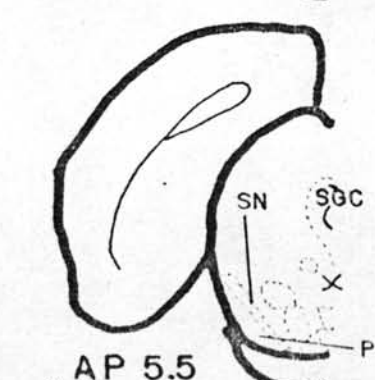
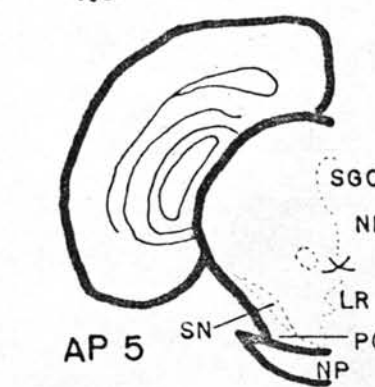
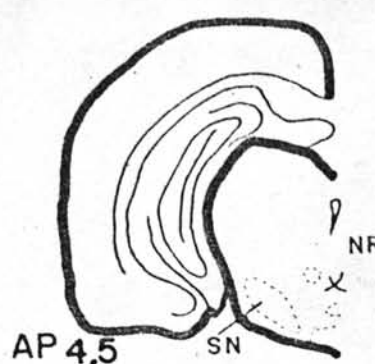
AP -2



AP -1



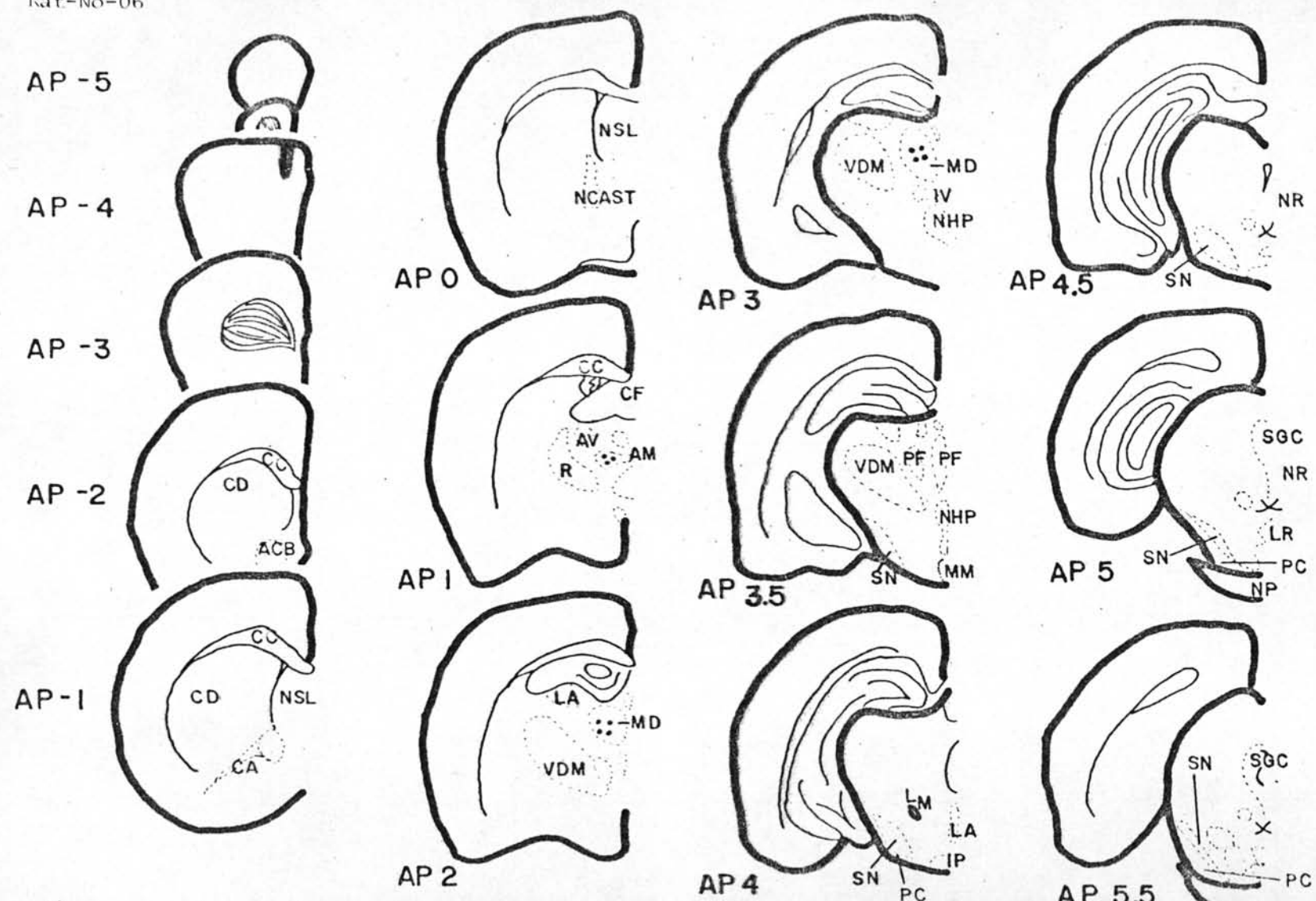
AP 4



AP 5.5

รูปที่ ๔๕ แสดงผลของการฉีด HRP บริเวณ AP-5, L2 และ D2.5 ซึ่งมีไนโตร HRP positive cell ใน nucleus anteromedialis thalami ระนาบ AP 1 และ ใน nucleus mediodorsalis thalami ระนาบ AP 2 และ AP 3

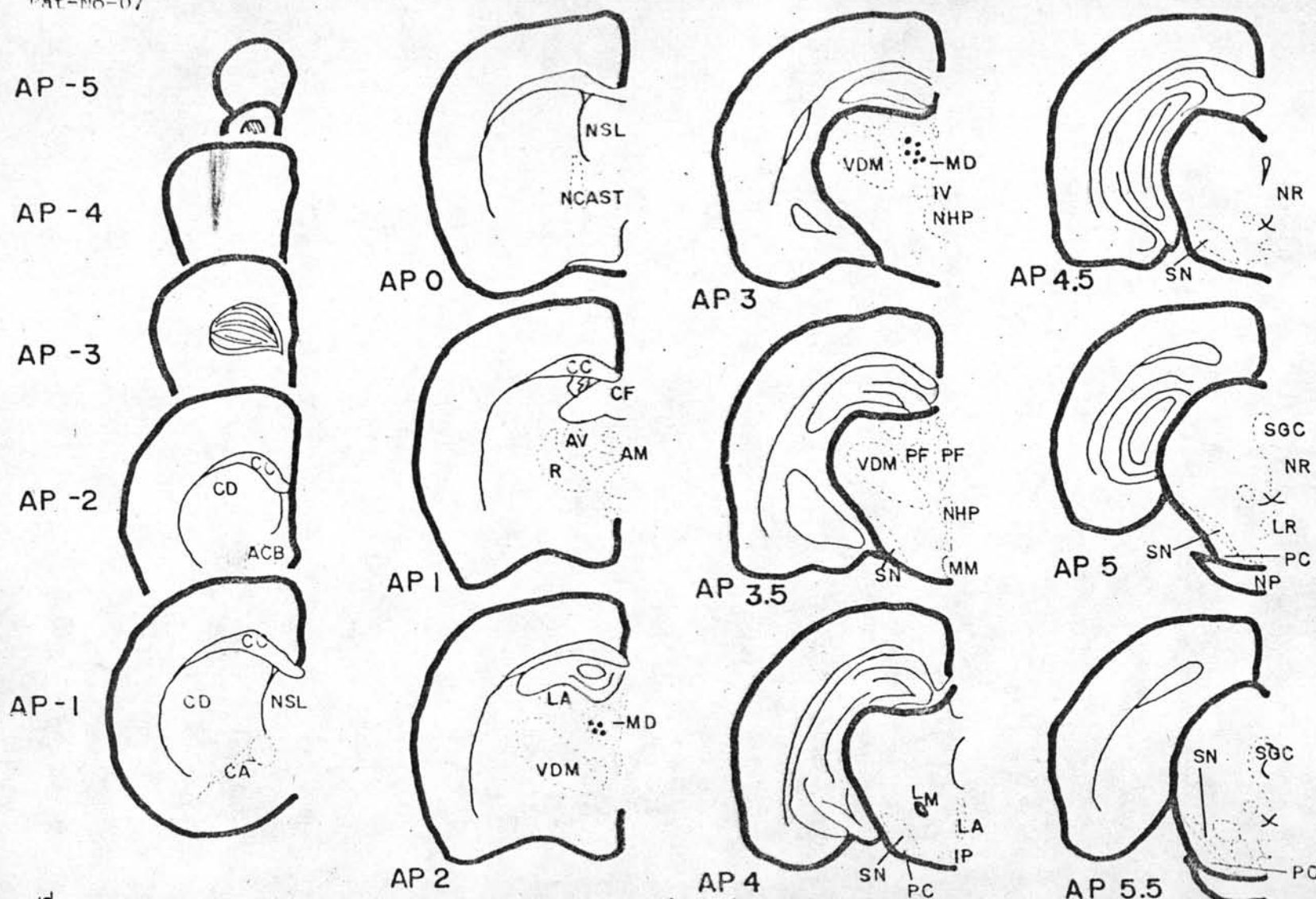
Rat-No-06



รูปที่ ๑๖ แสดงผลของการฉีด HRP บริเวณ AP-4, L1 และ D1 ซึ่งทำให้มี HRP positive cell ใน nucleus anteromedialis

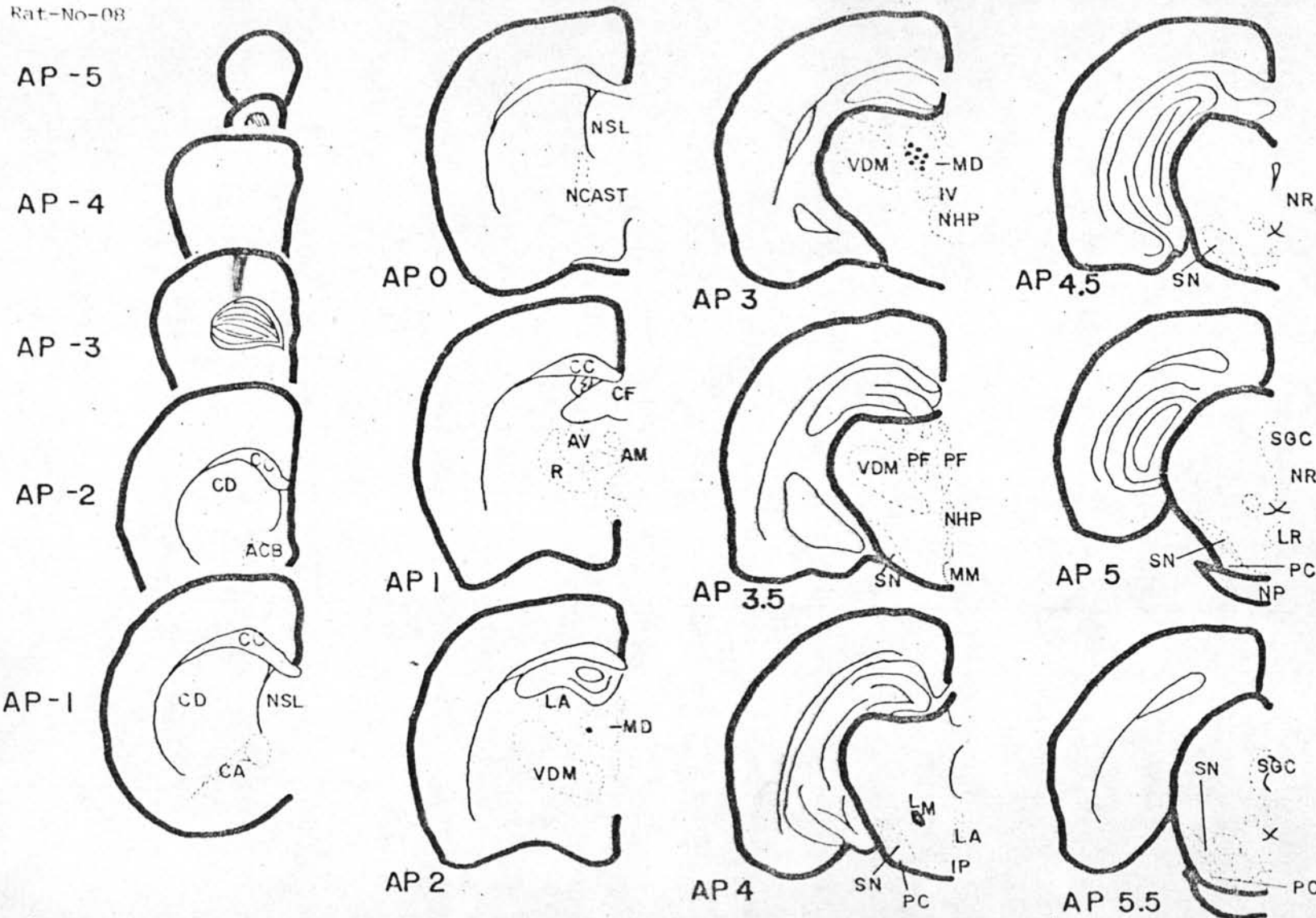
รวมถึง AP 1 และ ใน nucleus mediodorsalis ระหว่าง AP 2 และ AP 3

Pat-No-07



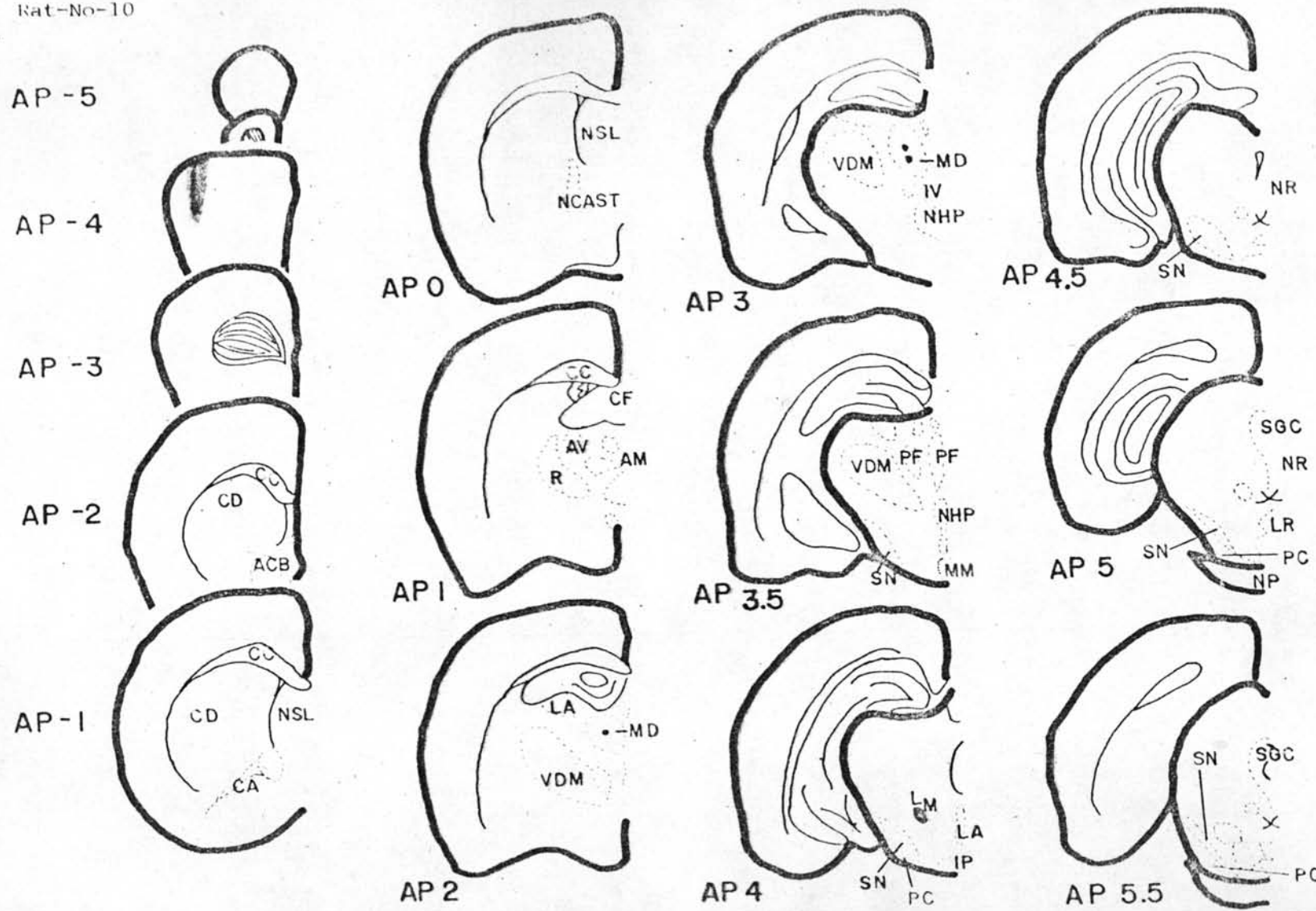
รูปที่ ๗ แสดงผลของการฉีด HRP บริเวณ AP-4, L4 และ D3 ที่มีการติด HRP positive cell ใน nucleus mediodorsalis thalami ระนาบ AP 2 และ AP 3

Rat-No-08



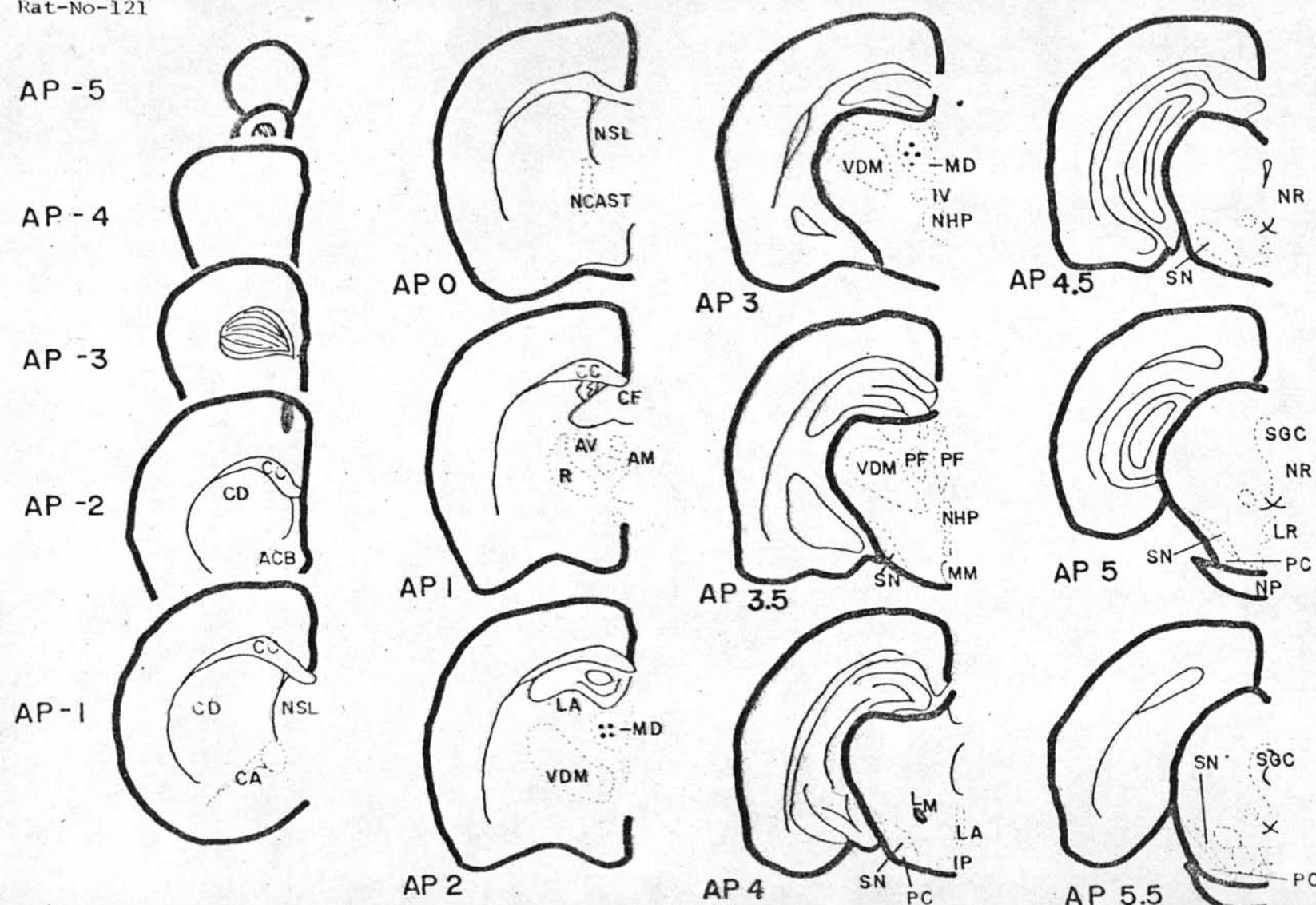
รูปที่ ๙๖ แสดงผลของการฉีด HRP บริเวณ AP-3, L3 และ D3 ที่งาไฟฟ้า HRP positive cell ใน nucleus mediodorsalis thalami ระดับ AP 2 และ AP 3

Rat-No-10



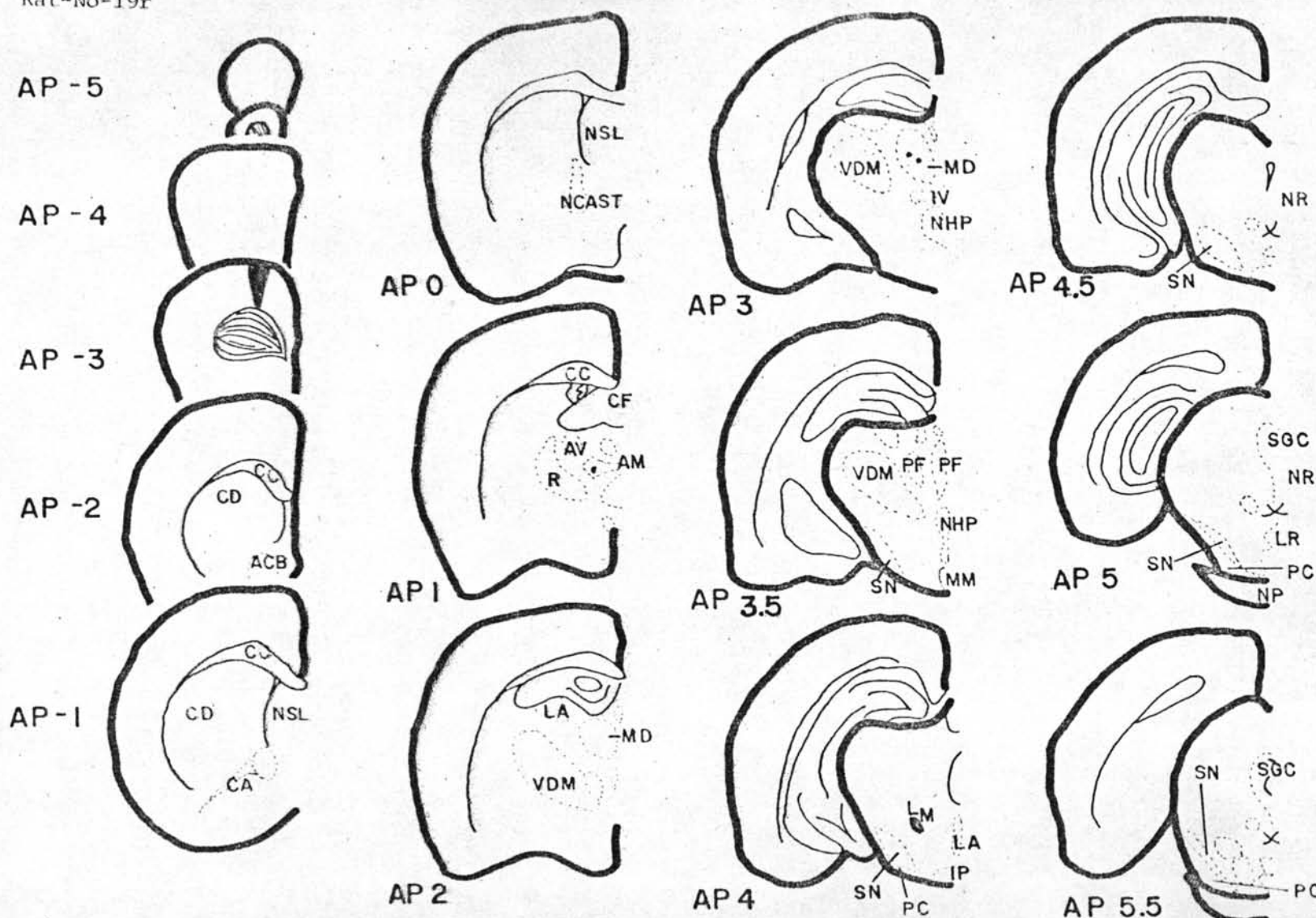
รูปที่ ๑๔ แมตช์ผลของการฉีด HRP บริเวณ AP-4, L 3 และ D 3 ที่ทำไว้ทันที HRP positive cell ใน nucleus mediodorsalis thalamus ระนาบ AP 2 และ AP 3

Rat-No-121



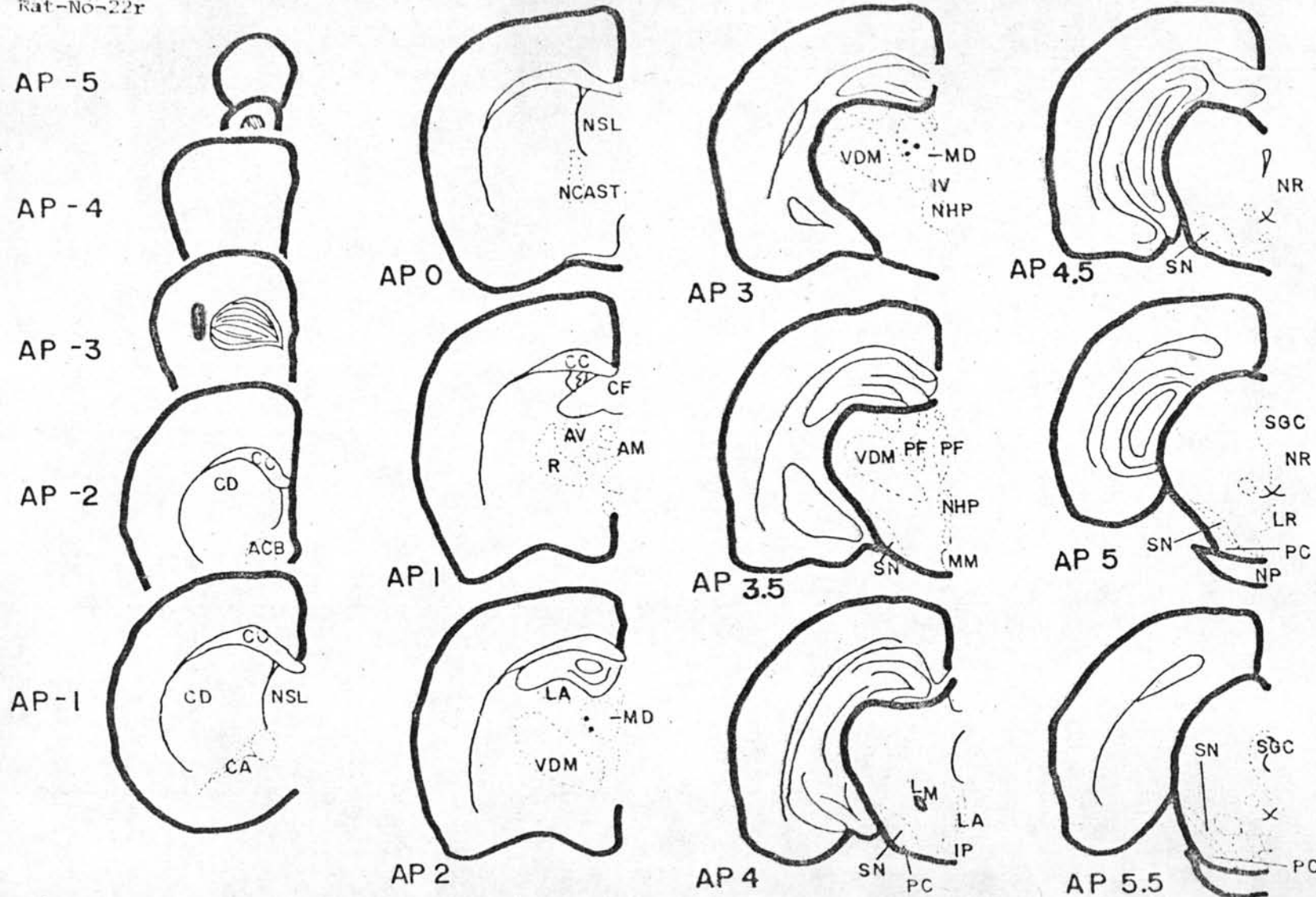
รูปที่ ๒๐ แสดงผลของการฉีด HRP บริเวณ AP-2, LL และ DL ซึ่งทำให้พบ ARP positive cell ใน nucleus mediodorsalis thalamus ระดับ AP 2 และ AP 3

Rat-No-19r



รูปที่ ๒๙ แสดงผลของการฉีด HRP บริเวณ AP-3, L2 และ D2.5 ซึ่งพำนัชพื้น HRP positive cell ใน nucleus anteromedialis thalami ระนาบ AP 1 และใน nucleus mediodorsalis ระนาบ AP 3

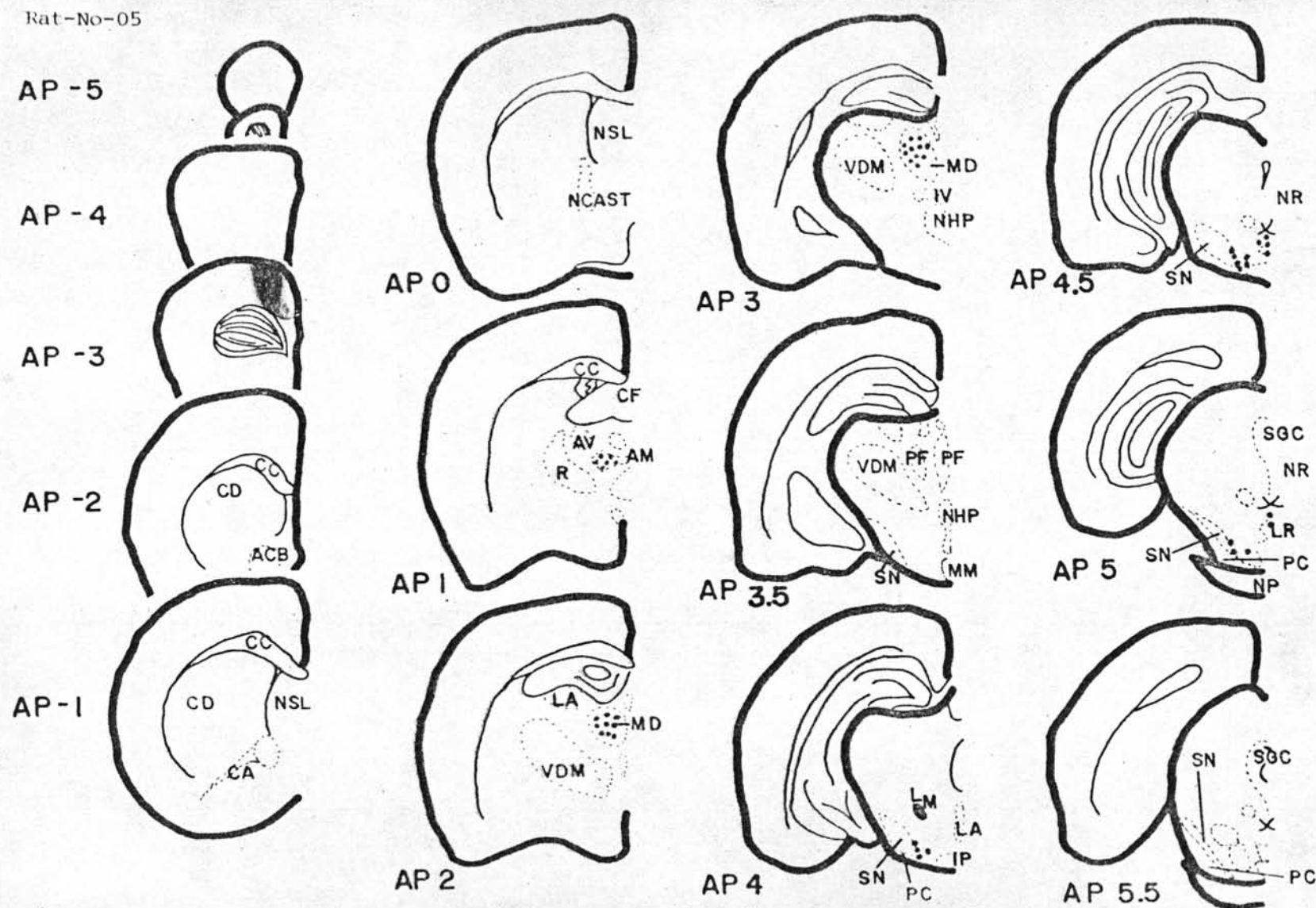
Rat-No-22r



รูปที่ ๔๒ แสดงผลของการฉีด HRP บริเวณ AP-3, L5 และ D4 ซึ่งทำให้พบ HRP positive cell ใน nucleus mediodorsalis thalami ระหว่าง AP 2 และ AP 3

รูปที่ ๒๗-๓๐ แผนภูมิแสดงบริเวณที่ฉีด HRP ในเปลือกสมอง และพบ HRP positive cell ปรากฏใน mid brain tegmentum ส่วน zona compacta (A9) และ/หรือ ventro tegmentum area (A10) และใน thalamus ส่วน mediodorsalis และ anteromedialis ของหมูขาวแต่ละตัว

Rat-No-05



รูปที่ ๒๓ แสดงผลของการฉีด HRP บริเวณ AP-3, L1 และ D2.5 ซึ่งทำให้พบ HRP positive cell ใน

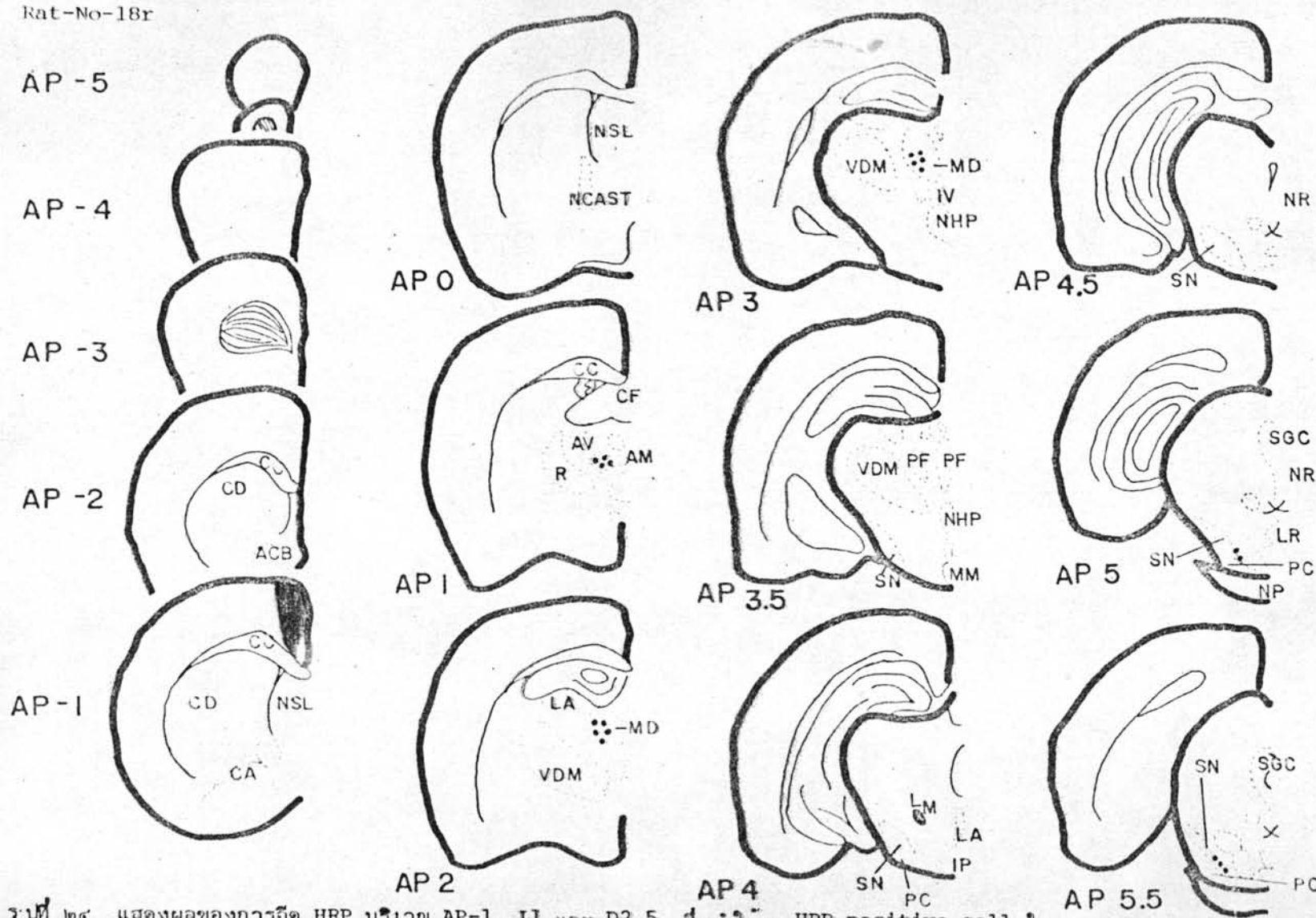
a. AM ระหว่าง AP 1

b. MD ระหว่าง AP 2 และ AP 3

c. SNC ระหว่าง AP 4, AP 4.5 และ AP 5

d. AVT ระหว่าง AP 4, AP 4.5 และ AP 5

Rat-No-18r



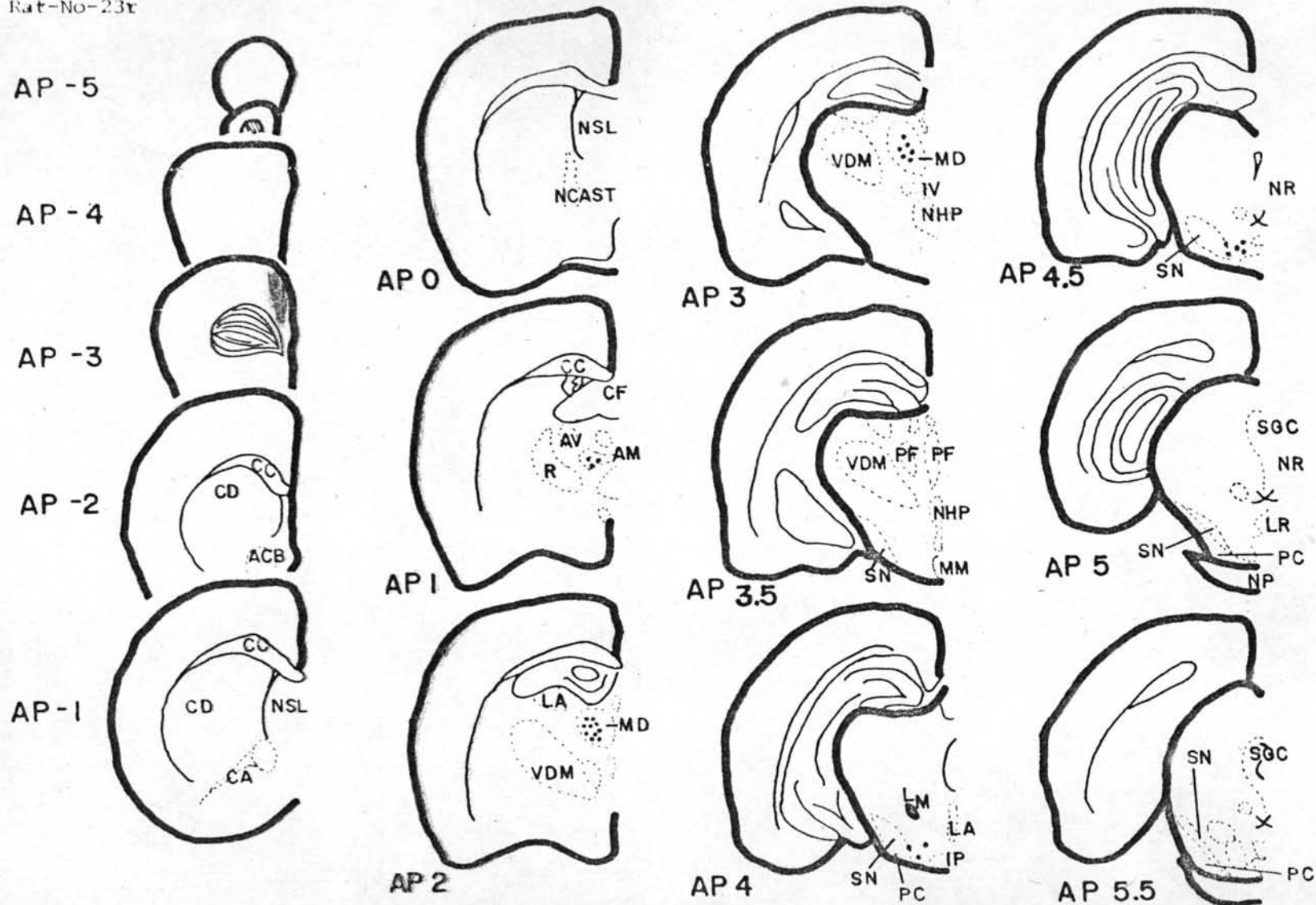
รูปที่ ๑๔ แสดงผลของการฉีด HRP บริเวณ AP-1, LI และ D2.5 ซึ่งมีให้เห็น HRP positive cell ใน

a. AM ระหว่าง AP 1

b. MD ระหว่าง AP 2 และ AP 3

c. SNC ระหว่าง AP 5 และ AP 5.5

Rat-No-23x



รูปที่ ๒๔ แสดงผลของการฉีด HRP บริเวณ AP-3, Ll และ D2.5 ที่ทำให้พบ HRP positive cell ใน

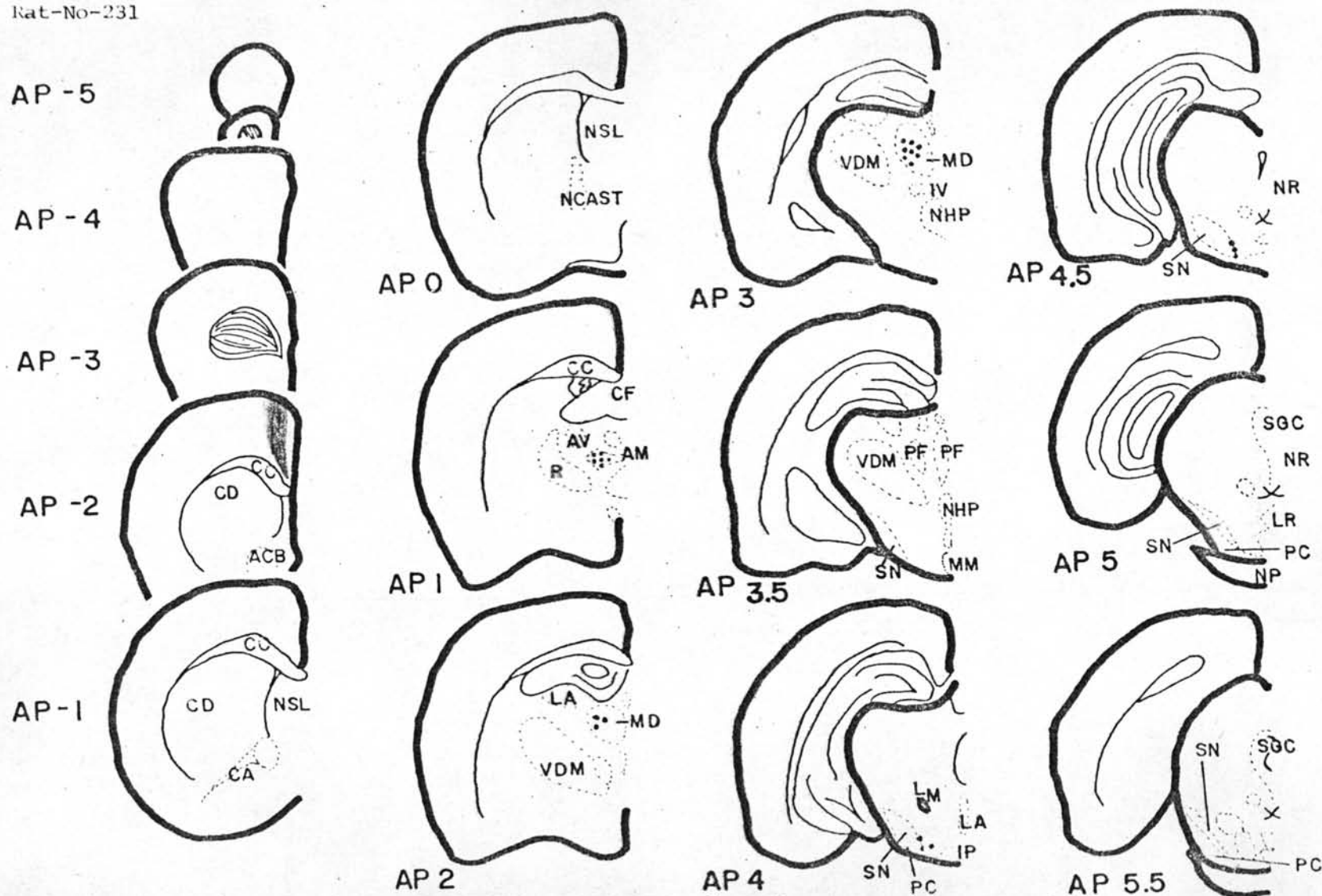
a. AM ระหว่าง AP 1

c. SNC ระหว่าง AP 4 และ AP 4.5

b. MD ระหว่าง AP 2 และ AP 3

d. AVT ระหว่าง AP 4 และ AP 4.5

Rat-No-231



รูปที่ ๒๖ แสดงผลของการฉีด HRP บริเวณ AP-2, Ll และ D2.5 ซึ่งทำให้พบ HRP positive cell ใน

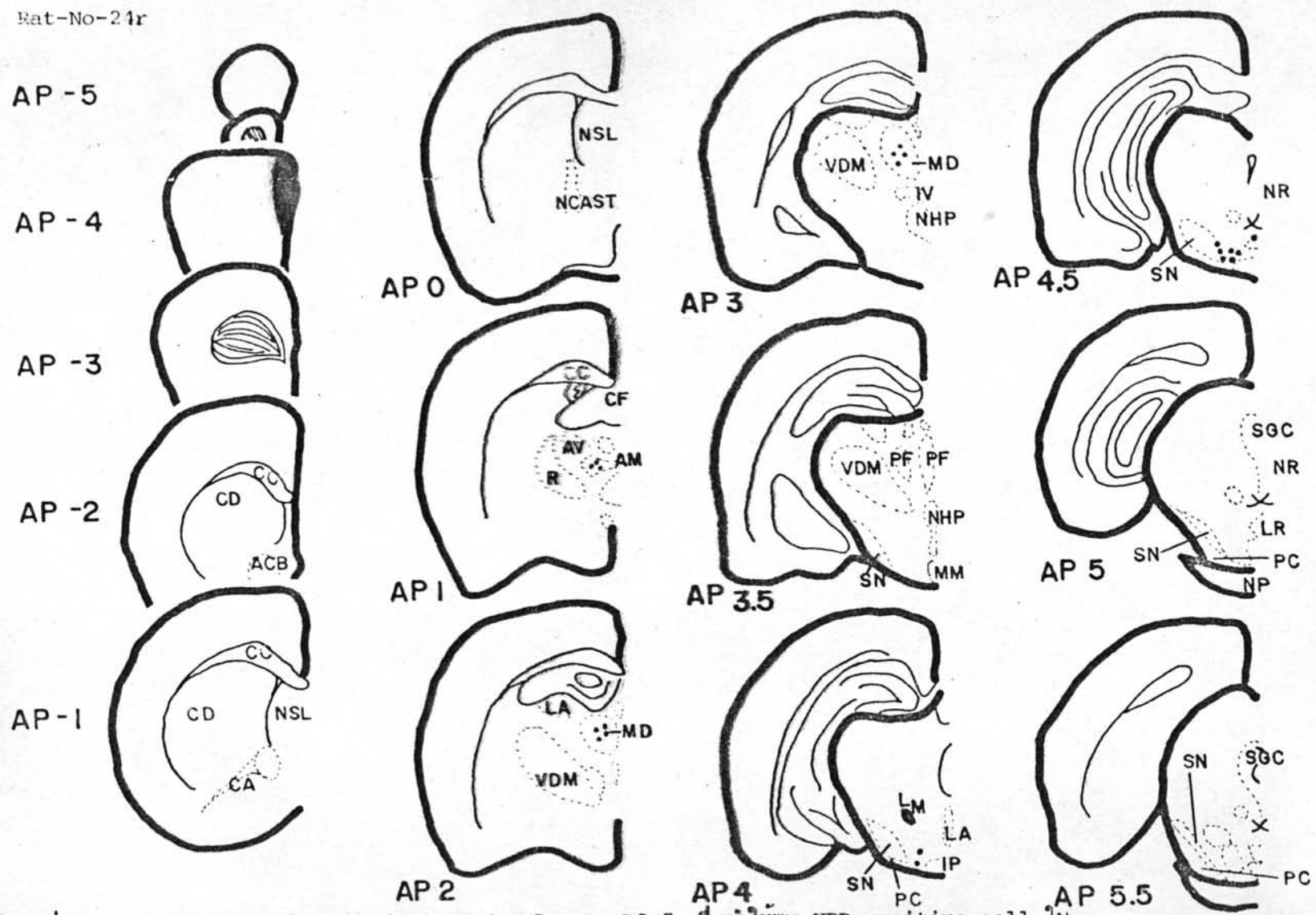
a. AM ระหว่าง AP 1

b. MD ระหว่าง AP 2 และ AP 3

c. SNC ระหว่าง AP 4 และ AP 4.5

d. AVT ระหว่าง AP 4

Rat-No-24r



รูปที่ ๑๗ แสดงผลของการฉีด HRP บริเวณ AP-4, LL และ D2.5

ซึ่งทำให้พบ HRP positive cell ใน

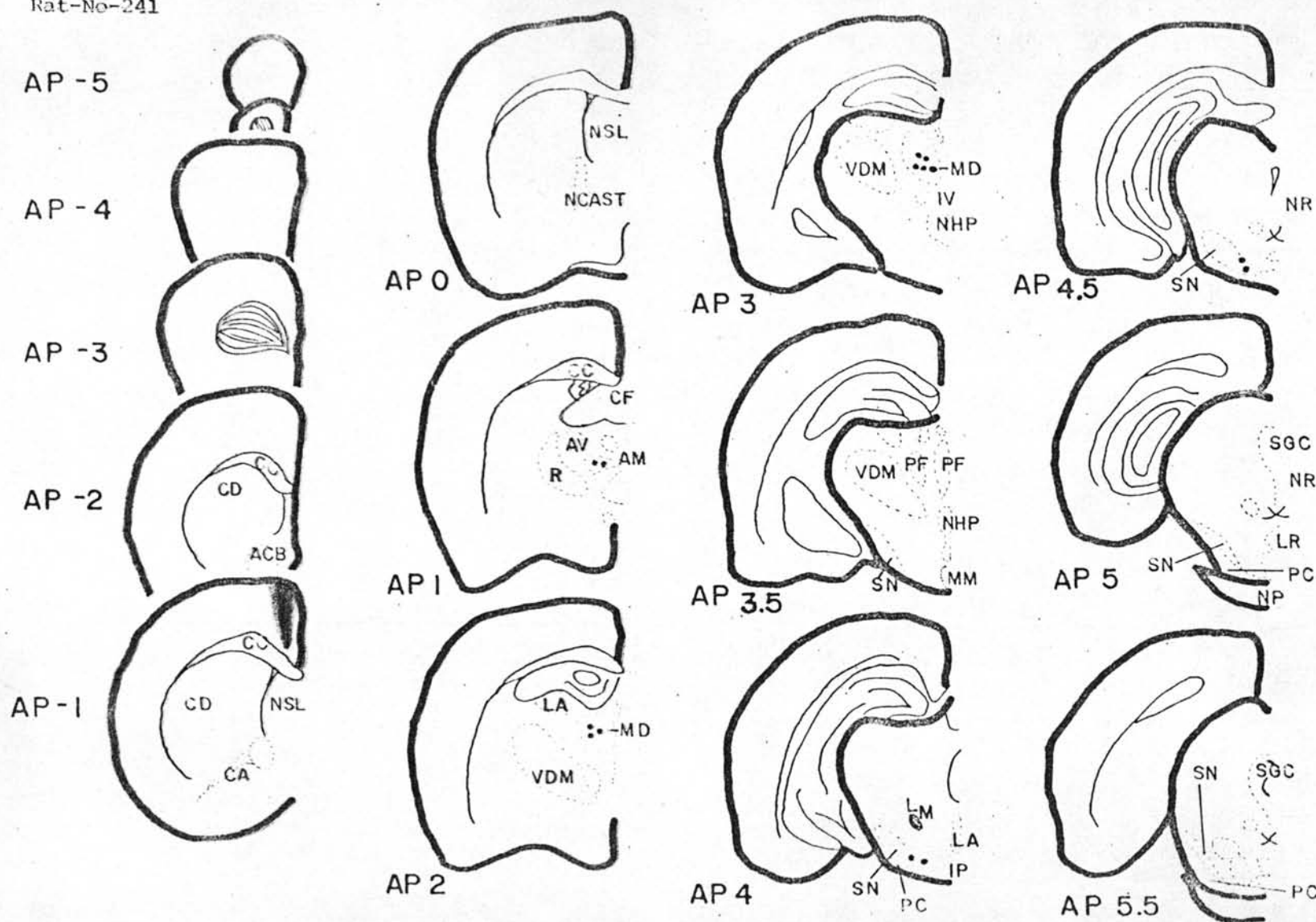
a. AM ระนาบ AP 1

c. SNC ระนาบ AP 4.5

b. MD ระนาบ AP 2 และ AP 3

d. AVT ระนาบ AP 4 และ AP 4.5

Rat-No-241



รูปที่ ๒๔ แสดงผลของการฉีด HRP บริเวณ AP-1, L1 และ D2.5 ซึ่งทำให้พบ HRP positive cell ใน

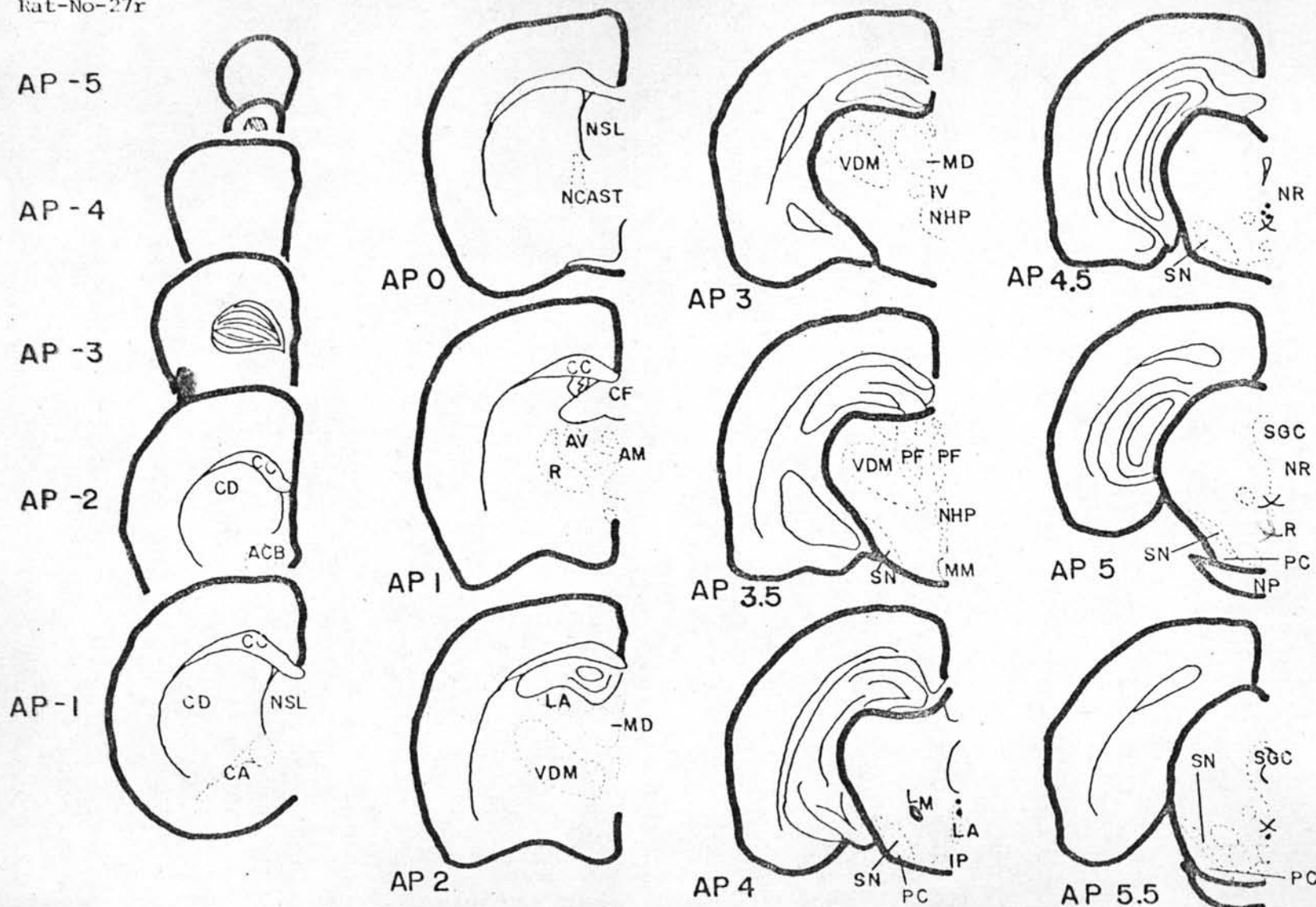
a. AM ระหว่าง AP 1

b. MD ระหว่าง AP 2 และ AP 3

c. SNC ระหว่าง AP 4 และ AP 4.5

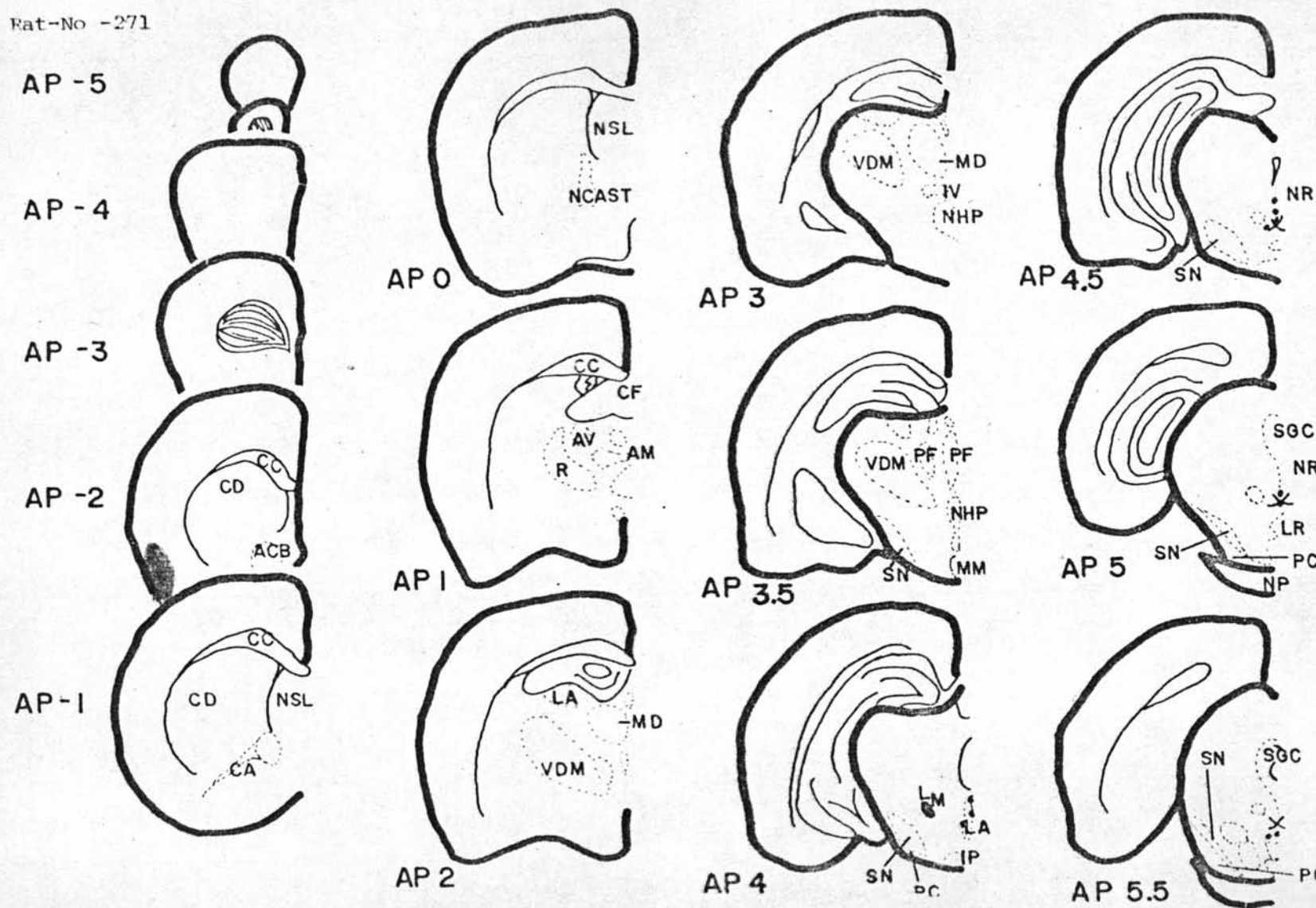
d. AVT ระหว่าง AP 4

Rat-No-27r



รูปที่ ๔๙ แสดงผลของการฉีด HRP บริเวณ AP-3, L5 และ D7 ซึ่งทำให้พบ HRP positive cell ใน ventro tegmentum area (AVT) ระนาบ AP 4, AP 4.5 และ AP 5.5

Rat-No - 271

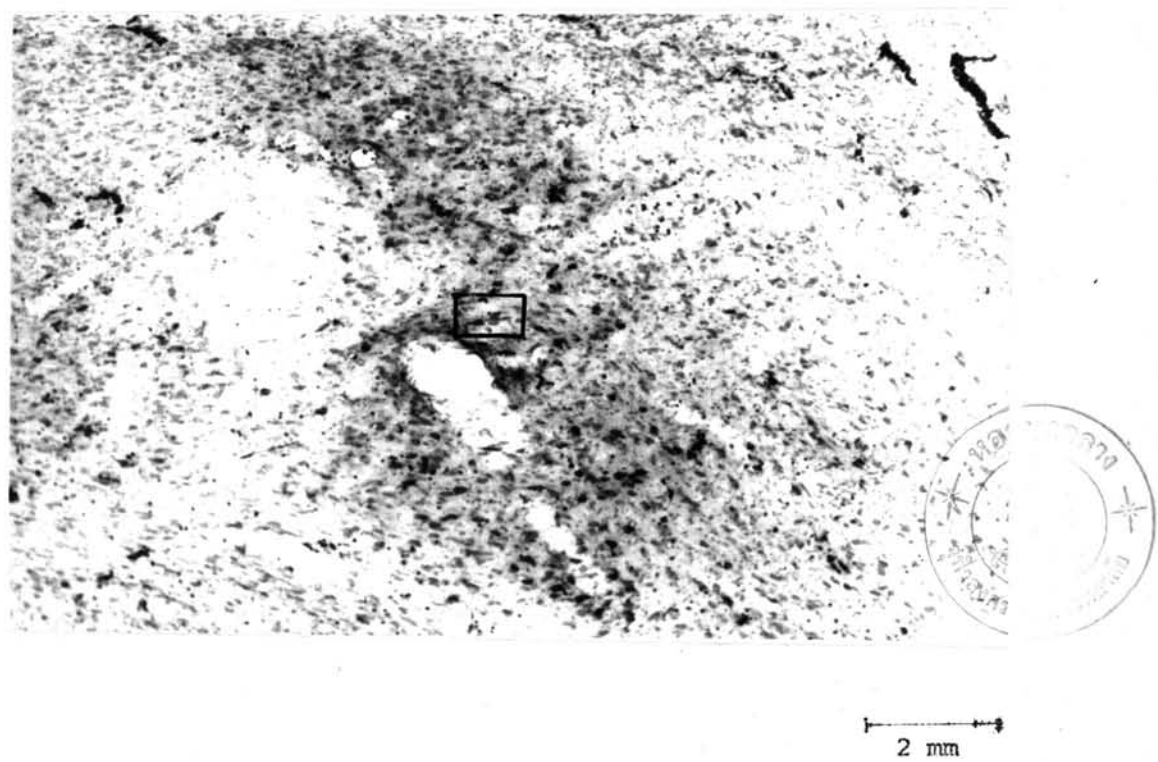


รูปที่ ๑๐ แสดงผลของการฉีด HRP บริเวณ AP-2, L5 และ D7 ศีรษะไว้หนู HRP positive cell ใน ventro tegmentum area (VTA)

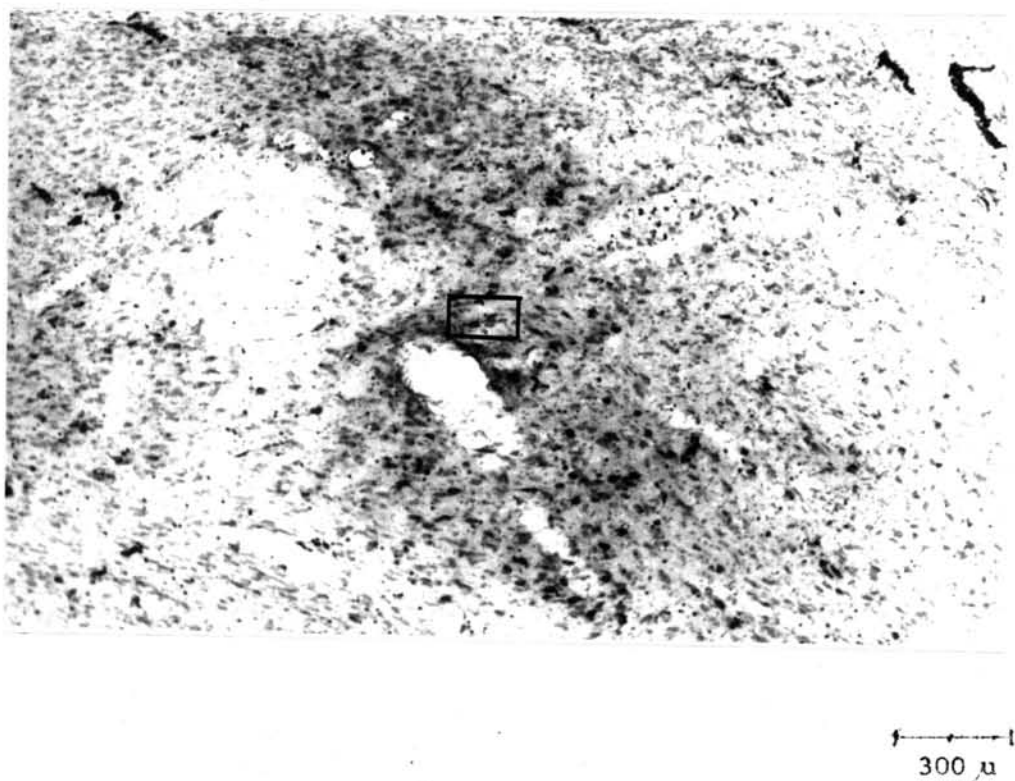
ระยะ AP 4, AP 4.5, AP 5 และ AP 5.5



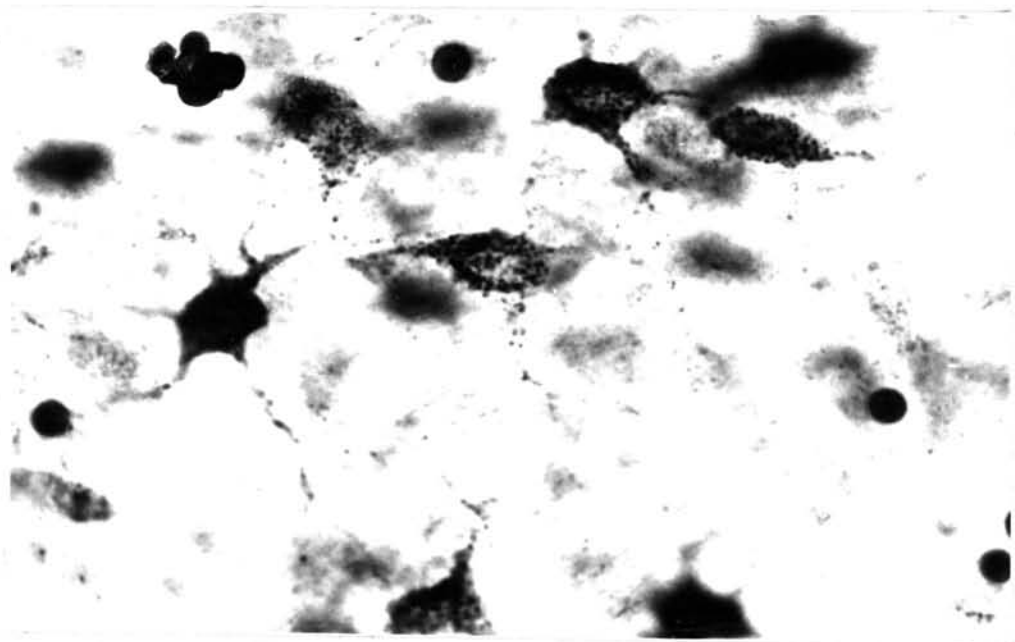
รูปที่ ๓๙ รูปถ่ายแสดง coronal section ซึ่งตัดจากสมองของหมูขาว  
ระดับ AP-4 และคงบริเวณที่รีด HRP ในระดับ AP-4, L2 และ D2 ซึ่งปรากฏเป็นรอยสีดำอยู่ทางด้านบนของส่วนซีกซ้ายเมื่อที่เห็นในรูป



รูปที่ ๓๒ รูปถ่ายแสดง coronal section ซึ่งตัดจากสมองของหมูขาวระดับ AP 2.5  
บริเวณที่ล้อมรอบด้วยเส้นประ และ nucleus mediodorsalis thalami

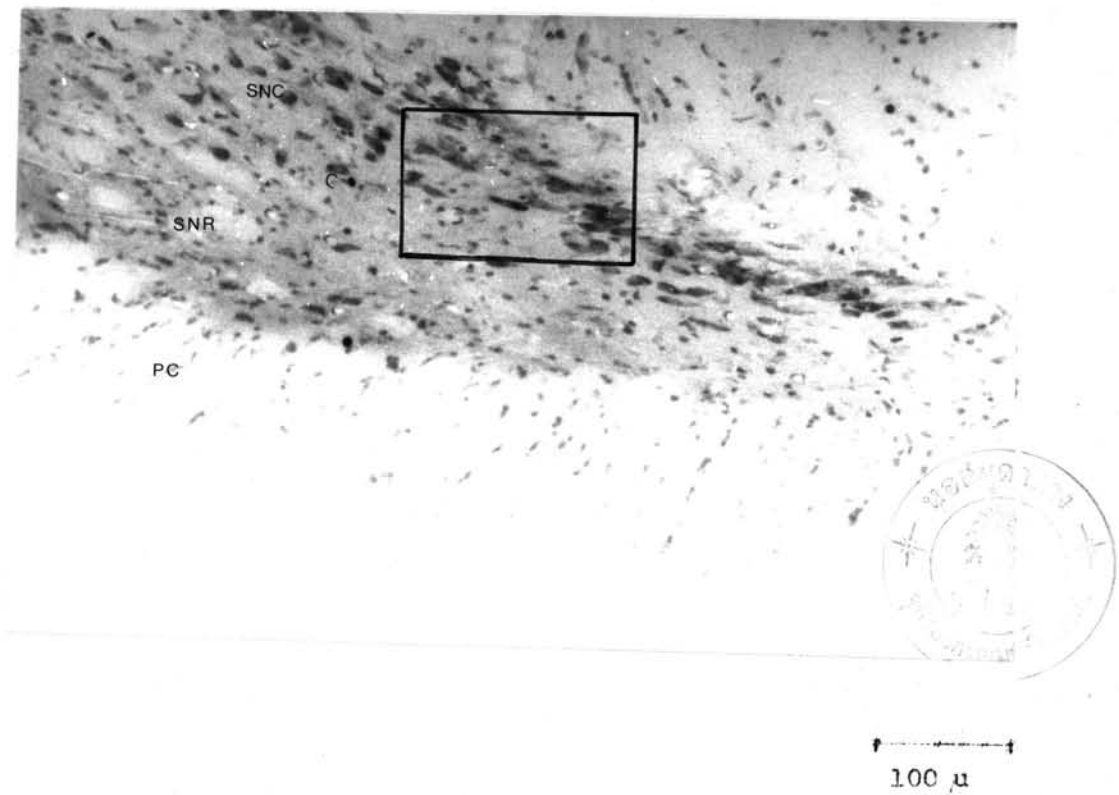


รูปที่ ๓๙ รูปถ่ายจากกล้องจุลทรรศน์ด้วยกำลังขยายต่ำ แสดงบริเวณ nucleus mediodorsalis thalami ซึ่งมี HRP positive cell ปรากฏอยู่ ในรูปนี้เซลล์เหล่านี้จะเห็นเป็นจุดดำ ๆ ในกรอบสีเหลืองด้านใน เมื่อใช้กล้องที่มีกำลังขยายสูงขึ้น ลักษณะของเซลล์จะปรากฏให้เห็นได้ชัดเจน ดังได้แสดงไว้ในรูปต่อไป (รูปที่ ๔๔)



30  $\mu$

รูปที่ ๗๔ รูปถ่ายแสดง HRP positive cell ใน nucleus mediodorsalis thalami ในกระดูกขายากสูง จะเห็นลักษณะของ HRP positive cell และ granules ได้ชัดเจน

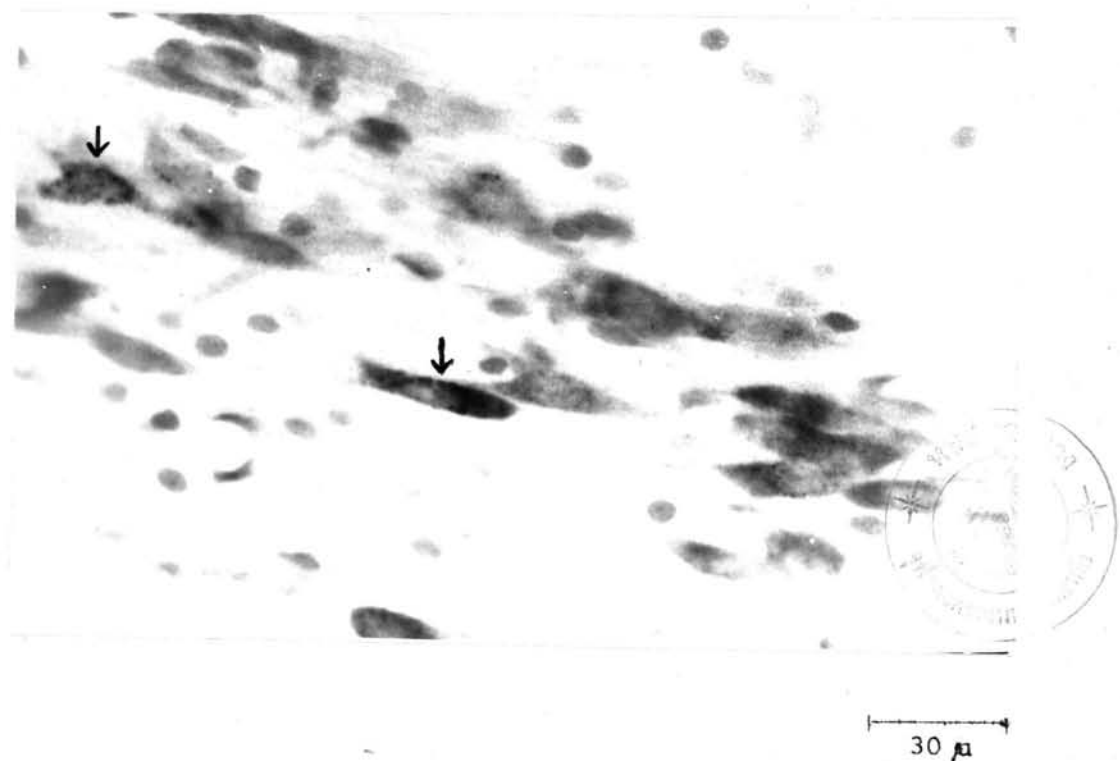


SNC = substantia nigra ส่วน zona compacta

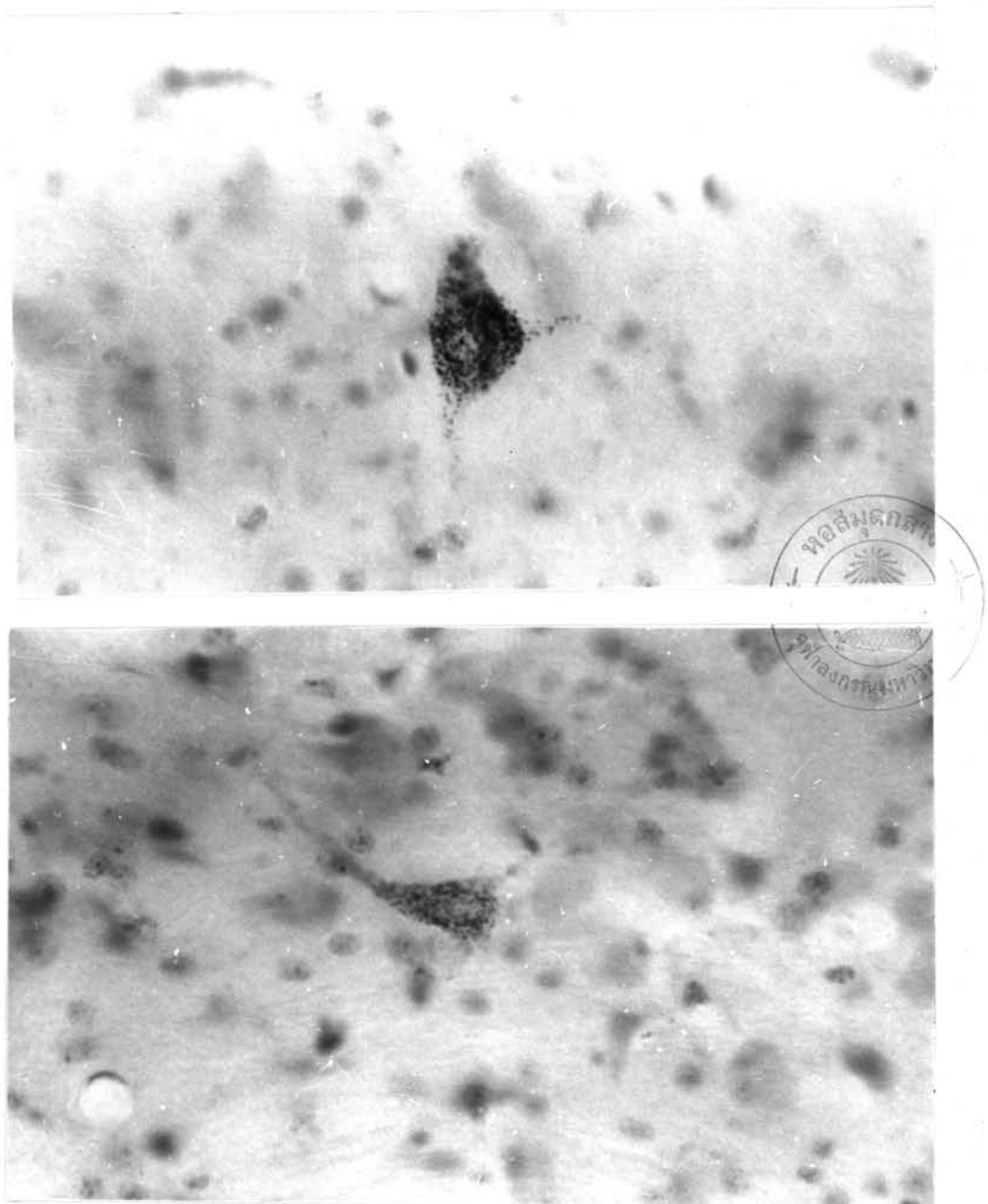
SNR = substantia nigra ส่วน zona reticulata

PC = pedunculus cerebri

รูปที่ ๗๔ รูปถ่ายแสดงบริเวณของ substantia nigra ส่วน zona compacta และ zona reticulata กับบริเวณหัวงเทียง เช่น pedunculus cerebri เขลักที่ติดสีเข้มเป็นส่วน zona compacta หรือ HRP positive cell ในกรอบสีเหลืองคำ เมื่อถูกวัดกล้องกำลังขยายสูงขึ้น สักษณะของเขลักจะปรากฏให้เห็นชัดเจน ตั้งแต่สองไว้ในรูปต่อไป (รูปที่ ๗๕)



รูปที่ ๓๖ รูปถ่ายแสดงลักษณะของ HRP positive cell ใน substantia nigra ส่วน zona compacta ในรูปจะเห็นได้ว่าเซลล์อยู่ในระนาบความสูงต่าง ๆ กัน เซลล์ที่ลูกกรดเป็นเซลล์อยู่ในระยะโพกส์ จึงทำให้เห็นได้ชัดเจนที่สุดส่วนเซลล์ อื่น ๆ ที่อยู่ข้างเคียงซึ่งเห็น granule ได้ไม่ชัดเจน อาจทำ granules ปรากฏชัดเจนได้ โดยการปรับระดับไฟส่องกล้องจุลทรรศน์



30  $\mu$

รูปที่ ๗๗ รูปถ่ายแสดงสีกษณะของ HRP positive cell ใน ventro tegmentum area